

PSI3431 - Processamento Estatístico de Sinais (2022)

Exercício Computacional 2 - Projeto de Filtros Digitais

Aluno: Ivan Luiz de Moura Matos

N°USP: 11234162

Data de entrega: 13/05/2022

In [1]: `using` PyPlot, DSP

Resolução do item 1)

Item 1-a)

Vamos utilizar o **método dos mínimos quadrados** para projetar um filtro com $N = 101$ coeficientes que aproxime a resposta ideal

$$H_d(e^{j\omega}) = \begin{cases} 1, & \text{se } |\omega| < \pi/4 \\ 0, & \text{se } \pi/4 \leq |\omega| \leq \pi \end{cases}$$

Inicialmente, vamos determinar a resposta ao impulso, $h_d[n]$, do filtro desejado.

Para $n \neq 0$, temos, antitransformando a expressão acima:

$$\begin{aligned} h_d[n] &= \frac{1}{2\pi} \int_{-\pi}^{\pi} H_d(e^{j\omega}) \cdot e^{j\omega n} d\omega = \frac{1}{2\pi} \int_{-\pi/4}^{\pi/4} (1) \cdot e^{j\omega n} d\omega = \frac{1}{2\pi} \int_{-\pi/4}^{\pi/4} e^{j\omega n} d\omega \\ &= \frac{1}{2\pi} \left[\frac{1}{jn} e^{j\omega n} \right]_{-\pi/4}^{\pi/4} = \frac{1}{\pi n} \frac{1}{2j} \left[e^{jn\pi/4} - e^{-jn\pi/4} \right] \end{aligned}$$

Como $\sin(x) = \frac{e^{jx} - e^{-jx}}{2j}$, resulta, para $n \neq 0$:

$$h_d[n] = \frac{1}{\pi n} \cdot \sin\left(\frac{\pi}{4} n\right)$$

Para $n = 0$, temos:

$$h_d[0] = \frac{1}{2\pi} \int_{-\pi}^{\pi} H_d(e^{j\omega}) \cdot e^{j\omega 0} d\omega = \frac{1}{2\pi} \int_{-\pi/4}^{\pi/4} (1) \cdot (1) d\omega = \frac{1}{2\pi} \cdot (\pi/4 - (-\pi/4)) = 1/4$$

Finalmente, uma vez que

$$\frac{1}{\pi n} \cdot \sin\left(\frac{\pi}{4} n\right) = \frac{1/4}{\frac{\pi}{4} n} \cdot \sin\left(\frac{\pi}{4} n\right) = \frac{1}{4} \text{sinc}\left(\frac{1}{4} n\right)$$

onde

$$\text{sinc}(x) = \begin{cases} \frac{\sin(\pi x)}{\pi x}, & \text{se } x \neq 0 \\ 1, & \text{se } x = 0 \end{cases}$$

podemos escrever:

$$h_d[n] = \frac{1}{4} \text{sinc}\left(\frac{1}{4} n\right)$$

Vemos que a resposta $h_d[n]$ é simétrica ao redor de $n = 0$. Podemos considerar um atraso

$L = (N - 1)/2 = (101 - 1)/2 = 50$, além de efetuar o truncamento para $N = 101$ coeficientes. Obtemos, assim, a seguinte resposta ao impulso:

$$h[n] = \begin{cases} \frac{1}{4} \text{sinc}\left(\frac{1}{4}(n - 50)\right), & \text{se } 0 \leq n \leq 100 \\ 0, & \text{se } n < 0 \text{ ou } n > 100 \end{cases}$$

Vamos agora criar a sequência `ha[n]` constituída pelos 101 coeficientes de $h[n]$. A letra `a` denota apenas que este é o filtro implementado no item 1-a).

Observação: devemos lembrar que os índices dos vetores na linguagem Julia iniciam-se em 1, e não em 0. Por conta disso, a sequência `ha` tem valores `ha[1]`, `ha[2]`, ..., `ha[101]`, e seu elemento central é `ha[51]`. No entanto, vamos considerar que `ha[1]` armazena o valor de $h[0]$, `ha[2]` armazena o valor de $h[1]$, e assim por diante. Tal convenção será utilizada ao longo deste relatório para todos os vetores que representam algum sinal.

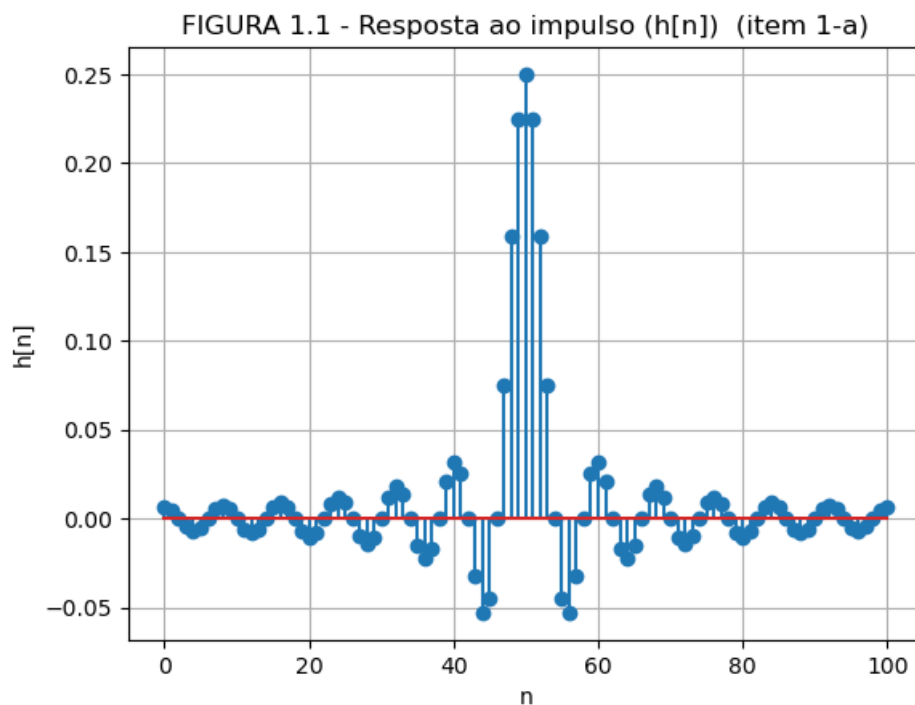
```
In [2]: N = 101;
ha = zeros(N);

ha[1:50] = 1/4 * sin.(pi * 1/4 * ((1:50) .- 51))./(pi * 1/4 * ((1:50) .- 51));
ha[51] = 1/4;
ha[52:101] = 1/4 * sin.(pi * 1/4 * ((52:101) .- 51))./(pi * 1/4 * ((52:101) .- 51));

# Observação: para construir essa sequência (ha), poderia ter sido
# usada a função sinc, que já existe na linguagem.
```

Abaixo, é plotada a resposta ao impulso, $h[n]$:

```
In [3]: stem(0:100,ha);
title("FIGURA 1.1 - Resposta ao impulso (h[n]) (item 1-a)");
ylabel("h[n]"); xlabel("n"); grid();
```



Em seguida, criamos a variável `ha_filtro` do tipo `filter`, e calculamos a resposta em frequência `Ha_filtro`:

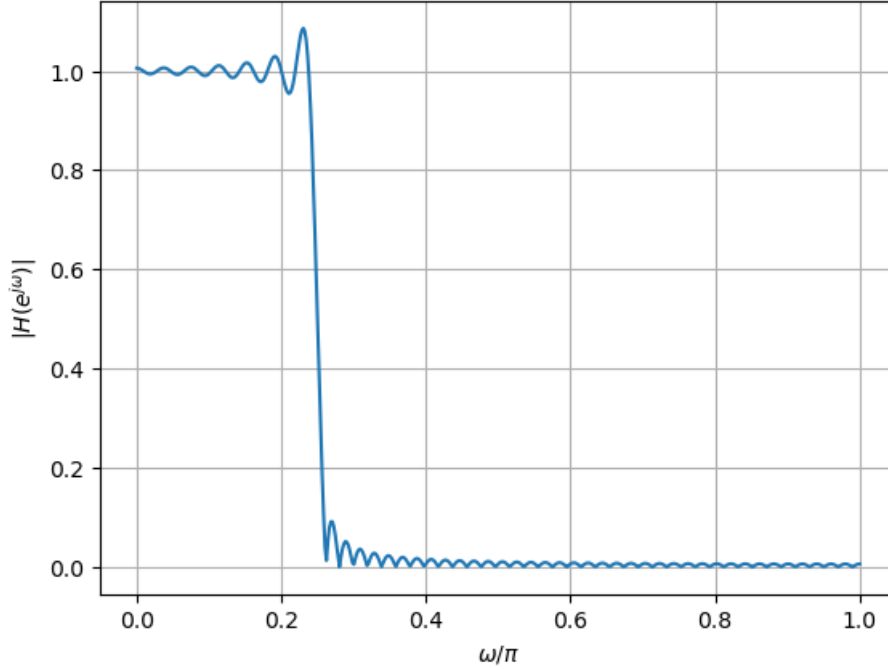
```
In [4]: ha_filtro = PolynomialRatio(ha,[1.0]);

omega_filtro_a= range(0, stop=pi, length = 500);
Ha_filtro = freqz(ha_filtro, omega_filtro_a);
```

Abaixo, é apresentado o **módulo da resposta em frequência** do filtro:

```
In [5]: plot(omega_filtro_a/pi, abs.(Ha_filtro));
title(L"FIGURA 1.2 - Módulo da resposta em frequência $H(e^{j\omega})$ (item 1-a)");
ylabel(L"$|H(e^{j\omega})|$"); xlabel(L"$\omega/\pi$"); grid();
```

FIGURA 1.2 - Módulo da resposta em frequência $H(e^{j\omega})$ (item 1-a)



Notamos que o a resposta em frequência do filtro $H(e^{j\omega})$ de fato aproxima um **passa-baixas** ideal de frequência de corte $\omega_c = \pi/4$.

Item 1-b)

Agora, procedendo de forma similar, vamos utilizar o método dos mínimos quadrados para projetar um filtro com $N = 101$ coeficientes que aproxime a resposta ideal

$$H_d(e^{j\omega}) = \begin{cases} 0, & \text{se } |\omega| < \pi/4 \\ 1, & \text{se } \pi/4 \leq |\omega| \leq \pi \end{cases}$$

Determinemos, inicialmente, a resposta ao impulso, $h_d[n]$, do filtro desejado.

Para $n \neq 0$, temos, antitransformando a expressão acima:

$$\begin{aligned} h_d[n] &= \frac{1}{2\pi} \int_{-\pi}^{\pi} H_d(e^{j\omega}) \cdot e^{j\omega n} d\omega = \frac{1}{2\pi} \int_{-\pi}^{-\pi/4} (1) \cdot e^{j\omega n} d\omega + \frac{1}{2\pi} \int_{\pi/4}^{\pi} (1) \cdot e^{j\omega n} d\omega \\ &= \frac{1}{2\pi} \left[\frac{1}{jn} e^{j\omega n} \right]_{-\pi}^{-\pi/4} + \frac{1}{2\pi} \left[\frac{1}{jn} e^{j\omega n} \right]_{\pi/4}^{\pi} = \frac{1}{\pi n} \frac{1}{2j} \left[e^{-jn\pi/4} - e^{-jn\pi} + e^{jn\pi} - e^{jn\pi/4} \right] \\ &= \frac{1}{\pi n} \left[\sin(\pi n) - \sin\left(\frac{\pi}{4} n\right) \right] = \frac{1}{\pi n} \cdot \left(-\sin\left(\frac{\pi}{4} n\right) \right) \end{aligned}$$

Por outro lado, para $n = 0$, temos:

$$\begin{aligned} h_d[0] &= \frac{1}{2\pi} \int_{-\pi}^{\pi} H_d(e^{j\omega}) \cdot e^{j\omega 0} d\omega = \frac{1}{2\pi} \int_{-\pi}^{\pi} H_d(e^{j\omega}) \cdot (1) d\omega \\ &= \frac{1}{2\pi} \int_{-\pi}^{-\pi/4} (1) \cdot (1) d\omega + \frac{1}{2\pi} \int_{\pi/4}^{\pi} (1) \cdot (1) d\omega = \frac{1}{2\pi} \cdot (3\pi/4 + 3\pi/4) = 3/4 \end{aligned}$$

Finalmente, combinando os resultados obtidos para $n \neq 0$ e $n = 0$, podemos escrever (para todo n)

$$h_d[n] = \delta[n] - \frac{1}{4} \text{sinc}\left(\frac{1}{4}n\right)$$

onde

$$\delta[n] = \begin{cases} 1, & \text{se } n = 0 \\ 0, & \text{se } n \neq 0 \end{cases}$$

Como no caso anterior, vamos considerar um atraso $L = (N - 1)/2 = (101 - 1)/2 = 50$, além de efetuar o truncamento para $N = 101$ coeficientes. Obtemos, portanto, a seguinte aproximação para a resposta ao impulso

desejada:

$$h[n] = \begin{cases} \delta[n - 50] - \frac{1}{4} \text{sinc}\left(\frac{1}{4}(n - 50)\right), & \text{se } 0 \leq n \leq 100 \\ 0, & \text{se } n < 0 \text{ ou } n > 100 \end{cases}$$

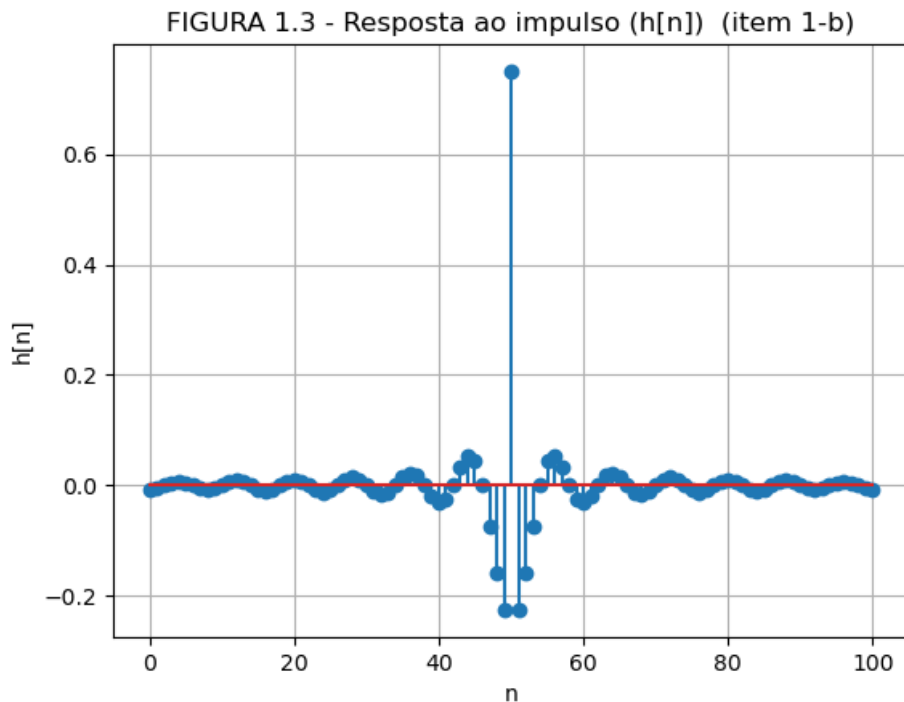
Vamos agora criar a sequência `hb[n]` constituída pelos 101 coeficientes de $h[n]$.

```
In [6]: N = 101;
hb = zeros(N);

hb[1:50] = -1/4 * sin.(pi * 1/4 * ((1:50) .- 51))./(pi * 1/4 * ((1:50) .- 51));
hb[51] = 1 - 1/4;
hb[52:101] = -1/4 * sin.(pi * 1/4 * ((52:101) .- 51))./(pi * 1/4 * ((52:101) .- 51));
```

Abaixo, é plotada a resposta ao impulso, $h[n]$:

```
In [7]: stem(0:100,hb);
title("FIGURA 1.3 - Resposta ao impulso (h[n]) (item 1-b)");
ylabel("h[n]"); xlabel("n"); grid();
```



Em seguida, criamos a variável `hb_filtro` do tipo `filter`, e calculamos a resposta em frequência `Hb_filtro`:

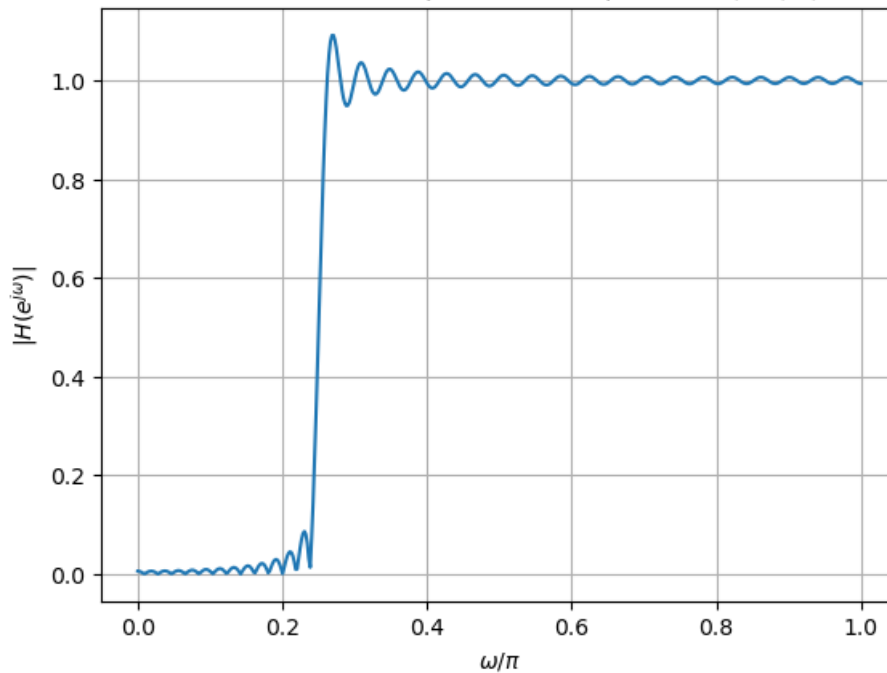
```
In [8]: hb_filtro = PolynomialRatio(hb,[1.0]);

omega_filtro_b = range(0, stop=pi, length = 500);
Hb_filtro = freqz(hb_filtro, omega_filtro_b);
```

Abaixo, é apresentada a **resposta em frequência** do filtro:

```
In [9]: plot(omega_filtro_b/pi, abs.(Hb_filtro));
title(L"FIGURA 1.4 - Módulo da resposta em frequência $H(e^{j\omega})$ (item 1-b)");
ylabel(L"$|H(e^{j\omega})|$"); xlabel(L"\omega/\pi"); grid();
```

FIGURA 1.4 - Módulo da resposta em frequência $H(e^{j\omega})$ (item 1-b)



Notamos que o a resposta em frequência do filtro $H(e^{j\omega})$ de fato aproxima um **passa-altas** ideal de frequência de corte $\omega_c = \pi/4$.

Resolução do item 2)

Vamos escrever uma função `filtroFIR` que implemente o filtro dado pela seguinte equação:

$$y[n] = h[0]x[n] + h[1]x[n-1] + \dots + h[N-1]x[n-N+1]$$

Os parâmetros de entrada serão `h` (sequência que representa a resposta ao impulso do filtro), e `x` (sequência que representa o sinal de entrada). A saída é `y` (sequência que representa o sinal de saída do filtro).

```
In [10]: function filtroFIR(h, x)

    K = length(x);
    y = zeros(K);

    # Laços aninhados para cálculo da convolução
    # entre x[n] e h[n], no trecho de interesse
    for n in 1:K
        for i in 1:n
            if (n-i+1 <= length(h))
                y[n] = y[n] + x[i]*h[n-i+1];
            end
        end
    end

    return(y)

end;

# Na funcao acima, o teste condicional (if) é utilizado para que
# não haja tentativa de acesso a índices fora do comprimento de h,
# e para que elementos fora do comprimento de h sejam considerados
# nulos nos cálculos.
```

Resolução do item 3)

Vamos considerar o sinal de entrada dado por

$$x[n] = \cos(\pi n / 20) + \cos(\pi n / 3)$$

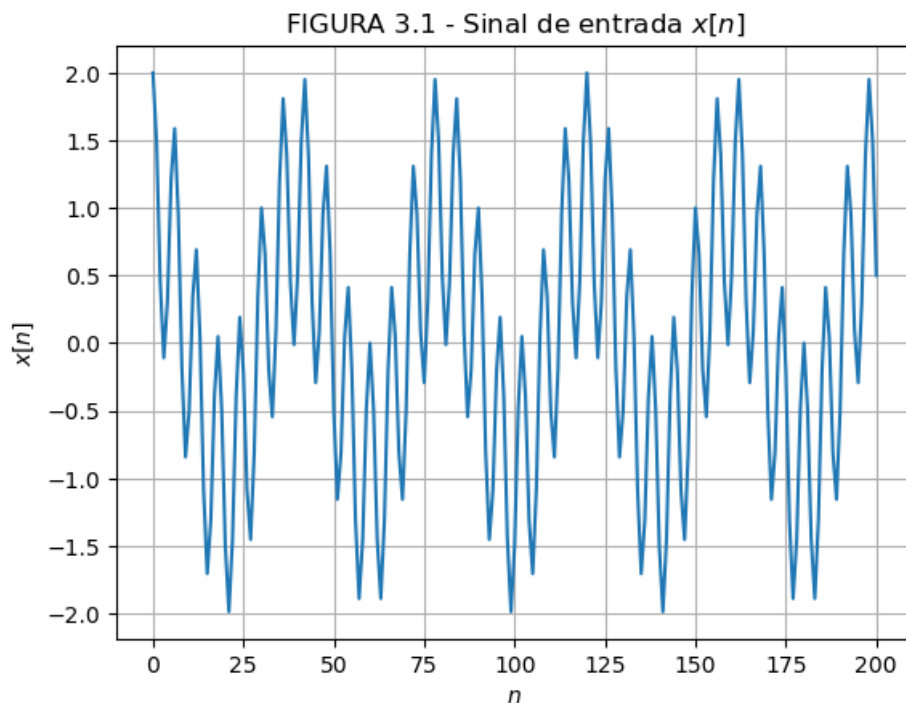
Vale observar que o sinal $x[n]$ é composto por duas componentes cossenoidais, uma de menor frequência ($\cos(\pi n / 20)$) e outra de maior frequência ($\cos(\pi n / 3)$). Ambas as componentes têm amplitude unitária.

```
In [11]: # Sequencia com valores n=0,1,2,...,200, nos quais
# sera calculada a funcao x[n]
seq = 0:200;

# Construção da sequencia que representa o sinal de entrada x[n]
x = cos.(pi*seq/20) + cos.(pi*seq/3);
```

Abaixo, plotamos o gráfico do sinal $x[n]$, para $0 \leq n \leq 200$:

```
In [12]: plot(x);
title(L"FIGURA 3.1 - Sinal de entrada $x[n]$");
ylabel(L"x[n]"); xlabel(L"n"); grid();
```



Item 3-a)

Vamos utilizar a função `filtroFIR` para obter a saída do filtros calculados nos itens **1-a)** e **1-b)**, quando a entrada é o sinal $x[n]$.

Vamos comparar os resultados da função `filtroFIR` com aqueles obtidos pelo uso da função `filt`, implementada no pacote `DSP` da linguagem Julia.

Comparação entre saídas do programa `filtroFIR` e da função `filt`, no caso do filtro passa-baixas implementado no item 1-a)

Inicialmente, vamos considerar o filtro proposto no item **1-a)**, com resposta ideal

$$H_d(e^{j\omega}) = \begin{cases} 1, & \text{se } |\omega| < \pi/4 \\ 0, & \text{se } \pi/4 \leq |\omega| \leq \pi \end{cases}$$

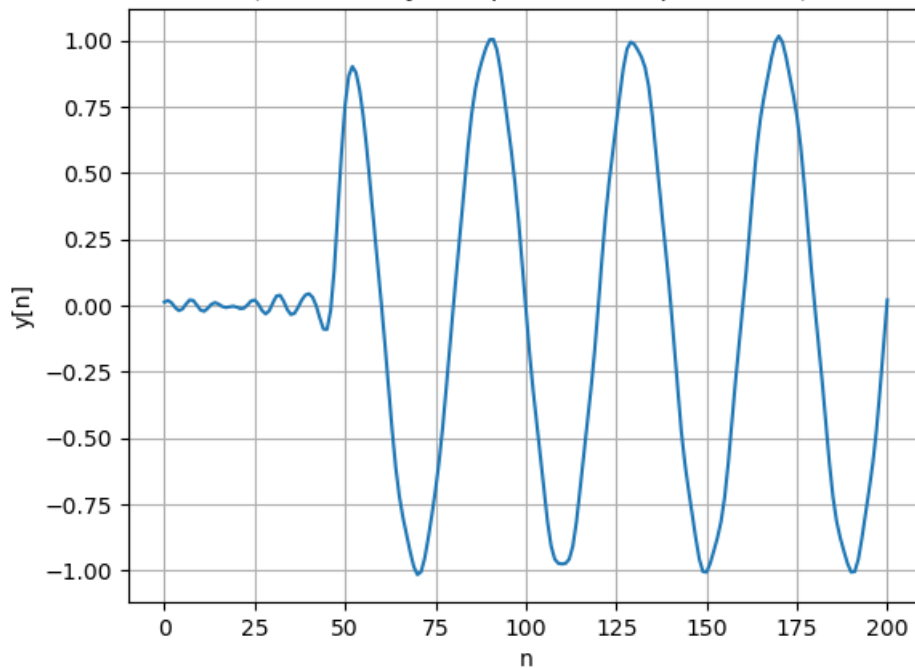
Lembremos que `ha` representa os coeficientes do filtro aproximado $h[n]$ obtido no **item 1-a)**.

Com o uso da função `filtroFIR`, obtemos a seguinte resposta, plotada no gráfico abaixo:

```
In [13]: plot(seq, filtroFIR(ha, x));

title("FIGURA 3.2 - Saída do filtro calculado no item 1-a) \n (uso da função implementada pelo aluno)");
ylabel("y[n]"); xlabel("n"); grid();
```

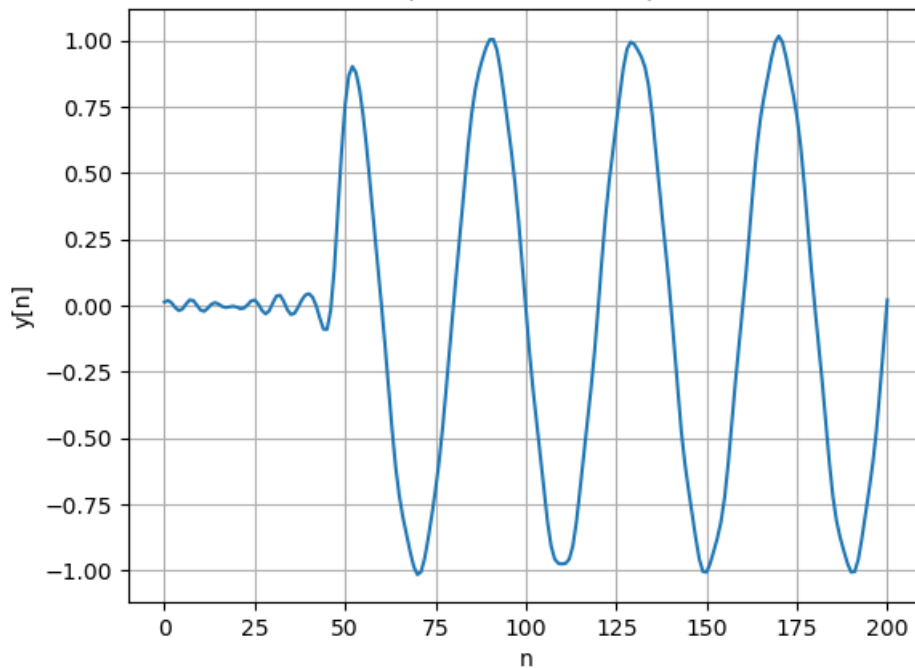
FIGURA 3.2 - Saída do filtro calculado no item 1-a)
(uso da função implementada pelo aluno)



Por outro lado, **com o uso da função `filt` da linguagem Julia**, obtemos a seguinte resposta, plotada no gráfico abaixo:

```
In [14]: plot(seq, filt(ha,x));
title("FIGURA 3.3 - Saída do filtro calculado no item 1-a) \n (uso da funcao filt)");
ylabel("y[n]"); xlabel("n"); grid();
```

FIGURA 3.3 - Saída do filtro calculado no item 1-a)
(uso da funcao filt)

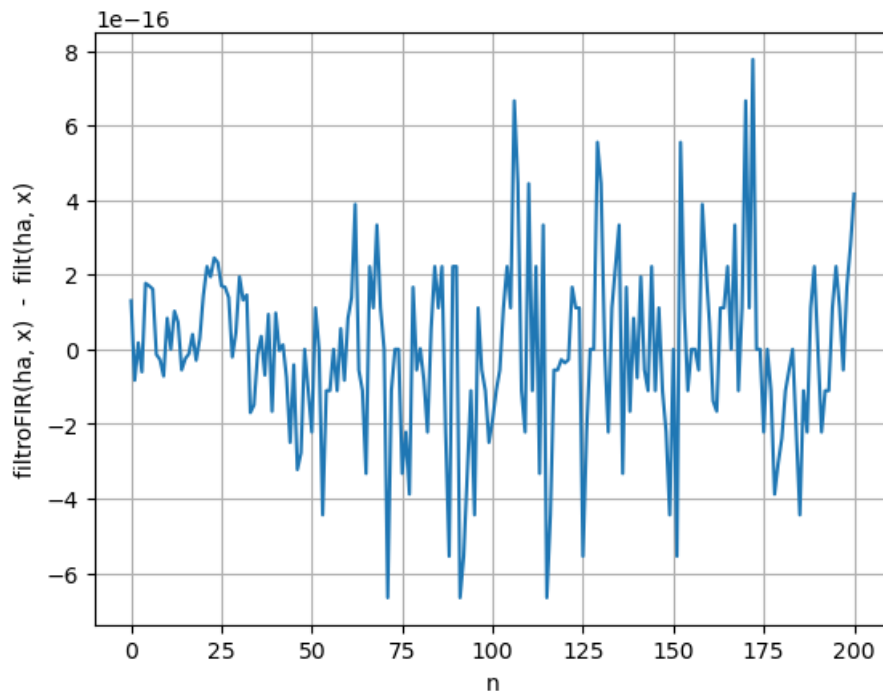


(Observação: Pode-se observar que, em ambos os casos, a saída do filtro apresenta um transitório no início da filtragem.)

Podemos notar que, visualmente, a saída obtida com a função `filtroFIR` implementada é compatível com a saída obtida pela função `filt` da linguagem Julia. De fato, podemos calcular a diferença entre tais saídas, ponto a ponto, para perceber que tal diferença é de fato muito pequena (da ordem de 10^{-16} a 10^{-15}):

```
In [15]: plot(seq, filtroFIR(ha,x)-filt(ha,x));
title("FIGURA 3.4 - Diferença entre respostas obtidas pela função filtroFIR e filt\n");
ylabel("filtroFIR(ha, x) - filt(ha, x)"); xlabel("n"); grid();
```

FIGURA 3.4 - Diferença entre respostas obtidas pela função filtroFIR e filt



Comparação entre saídas do programa `filtroFIR` e da função `filt`, no caso do filtro passa-altas implementado no item 1-b)

Agora, vamos considerar o filtro proposto no item 1-b), com resposta ideal

$$H_d(e^{j\omega}) = \begin{cases} 0, & \text{se } |\omega| < \pi/4 \\ 1, & \text{se } \pi/4 \leq |\omega| \leq \pi \end{cases}$$

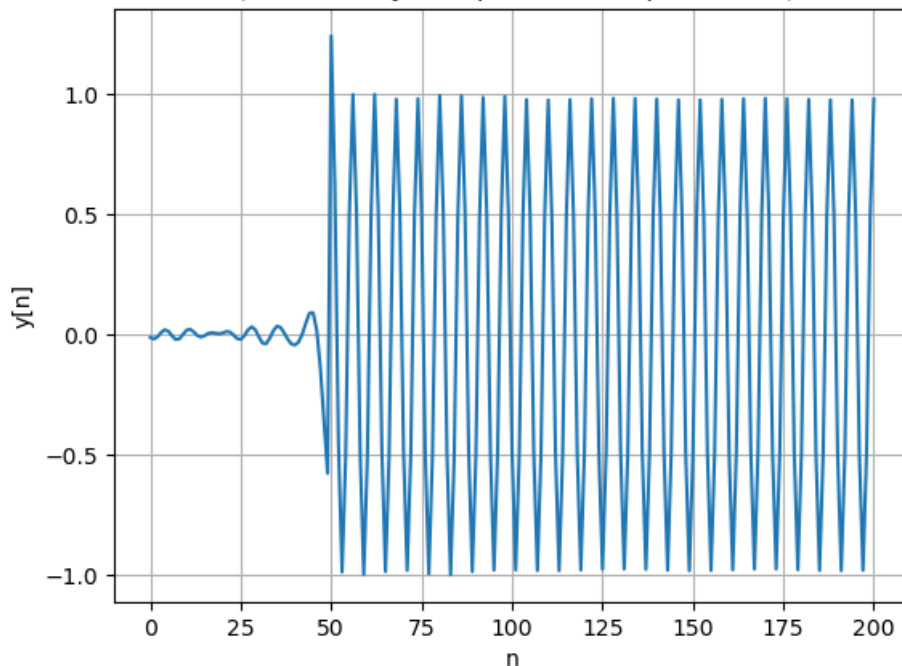
Lembremos que `hb` representa os coeficientes do filtro aproximado $h[n]$ obtido no item 1-b).

Com o uso da função `filtroFIR`, obtemos a seguinte resposta, plotada no gráfico abaixo:

```
In [16]: plot(seq, filtroFIR(hb, x));

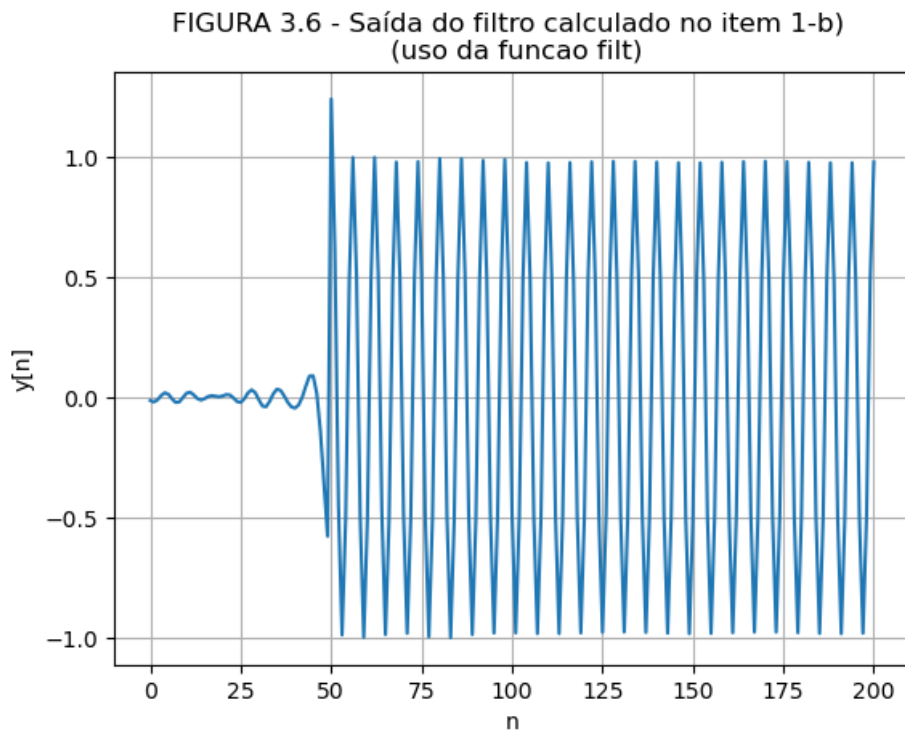
title("FIGURA 3.5 - Saída do filtro calculado no item 1-b) \n (uso da função implementada pelo aluno)");
ylabel("y[n]"); xlabel("n"); grid();
```

FIGURA 3.5 - Saída do filtro calculado no item 1-b)
(uso da função implementada pelo aluno)



Por outro lado, **com o uso da função `filt` da linguagem Julia**, obtemos a seguinte resposta, plotada no gráfico abaixo:

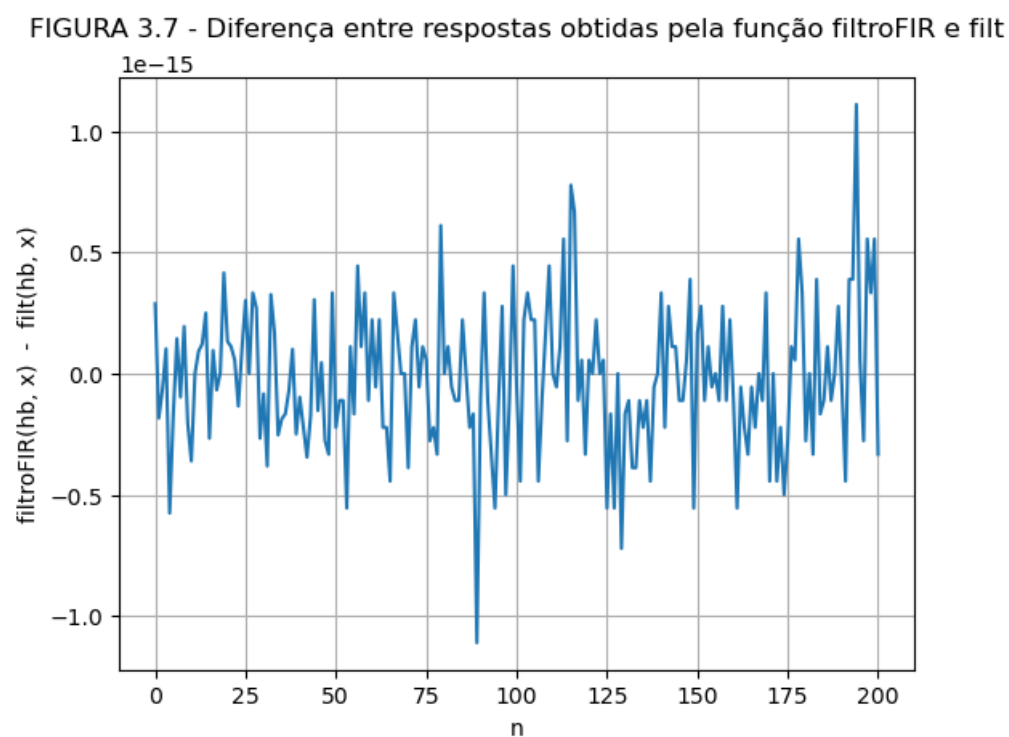
```
In [17]: plot(seq, filt(hb,x));  
title("FIGURA 3.6 - Saída do filtro calculado no item 1-b) \n (uso da funcao filt)");  
ylabel("y[n]"); xlabel("n"); grid();
```



(Observação: Pode-se observar que, em ambos os casos, a saída do filtro apresenta um transitório no início da filtragem.)

Novamente, notamos que a saída obtida com a função `filtroFIR` implementada é (visualmente) igual à saída obtida pela função `filt` da linguagem Julia. De fato, calculemos a diferença entre tais saídas para perceber que tal diferença é de fato muito pequena (da ordem de 10^{-15}):

```
In [18]: plot(seq, filtroFIR(hb,x)-filt(hb,x));  
title("FIGURA 3.7 - Diferença entre respostas obtidas pela função filtroFIR e filt\n");  
ylabel("filtroFIR(hb, x) - filt(hb, x)"); xlabel("n"); grid();
```

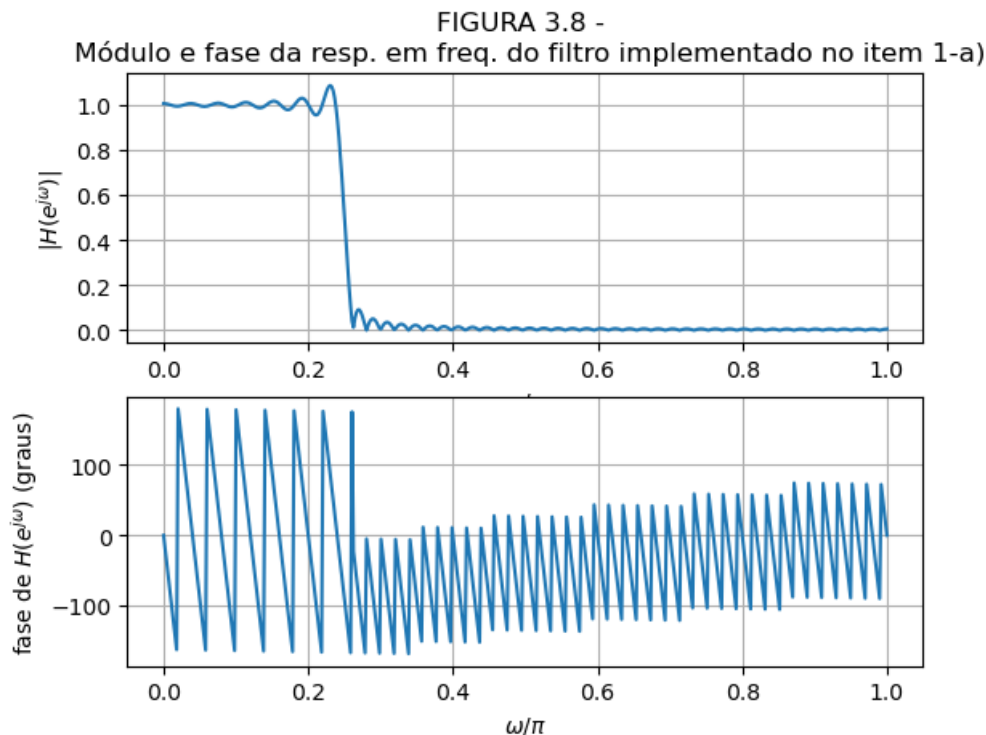


Item 3-b)

Resposta em frequência do filtro passa-baixas implementado no item 1-a), e análise da saída do filtro para entrada $x[n]$

Abaixo, apresentamos a resposta em frequência (módulo e fase) do filtro passa-baixas implementado no **item 1-a)**:

```
In [19]: subplot(211);
plot(omega_filtro_a/pi,abs.(Ha_filtro));
title("FIGURA 3.8 - \n Módulo e fase da resp. em freq. do filtro implementado no item 1-a)");
grid();
ylabel(L"$|H(e^{j\omega})|$");
xlabel(L"$\omega/\pi$");
subplot(212);
plot(omega_filtro_a/pi,angle.(Ha_filtro)*180/pi);
grid();
xlabel(L"$\omega/\pi$");
ylabel(L"fase de $H(e^{j\omega})$ (graus)");
```



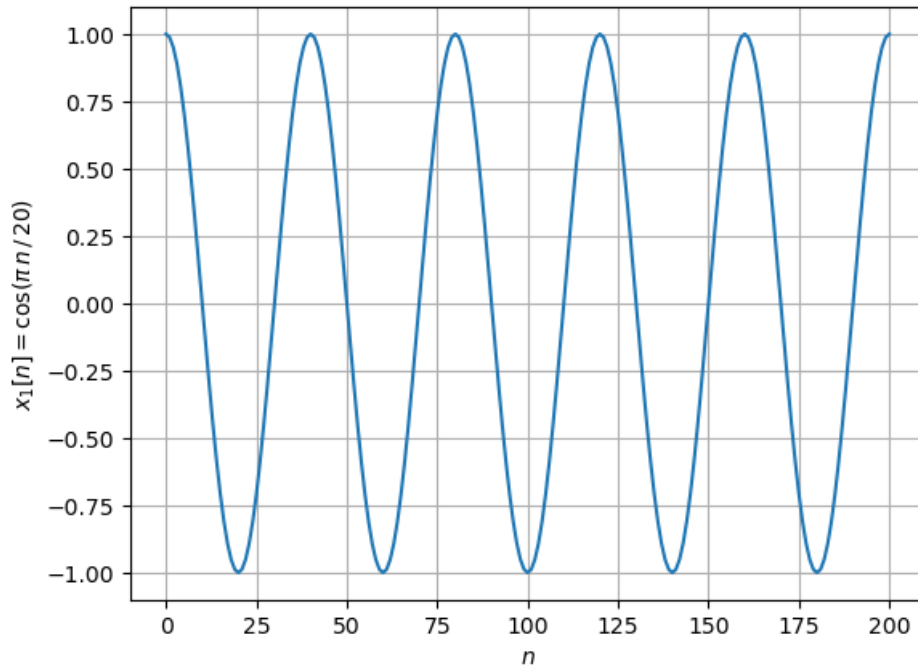
Quando a entrada é $x[n]$, e passado o transitório, o sinal de saída do filtro implementado no **item 1-a)** aproxima-se de uma senoide e tem amplitude (aproximadamente) igual a 1. De fato, podemos verificar que o módulo da resposta em frequência desse filtro, calculada em $\omega = \pi/20$ é aproximadamente igual a 1, como mostrado logo acima (Figura 3.8).

A partir dos resultados do **item 3-a)** (Figura 3.2), notamos que o filtro calculado no item **1-a)**, quando se aplica o sinal $x[n] = \cos(\pi n / 20) + \cos(\pi n / 3)$ em sua entrada, tem o efeito de "eliminar" (filtrar) a componente referente ao cosseno de maior frequência ($\cos(\pi n / 3)$), e manter a componente de menor frequência ($\cos(\pi n / 20)$) praticamente inalterada. Tal comportamento é condizente com um filtro passa-baixas com frequência de corte $\omega_c = \pi/4$.

Abaixo, plotamos o gráfico da componente de menor frequência $x_1[n] = \cos(\pi n / 20)$, para percebermos que, de fato, ela corresponde ao sinal de saída (após o transitório) do filtro passa-baixas implementado no item 1-a) e mostrado na Figura 3.2.

```
In [20]: plot(seq, cos.(pi*seq/20));
title(L"FIGURA 3.9 - Componente de menor frequência do sinal de entrada $x[n]$");
ylabel(L"$x_1[n]=\cos(\pi n / 20)$"); xlabel(L"$n$"); grid();
```

FIGURA 3.9 - Componente de menor frequência do sinal de entrada $x[n]$

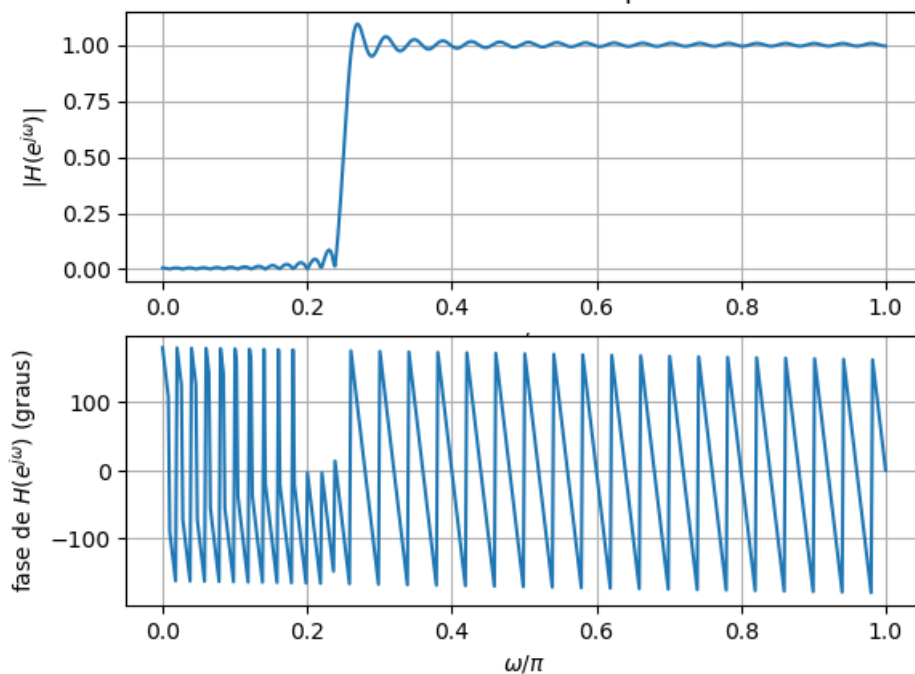


Resposta em frequência do filtro passa-altas implementado no item 1-b), e análise da saída do filtro para entrada $x[n]$

Abaixo, apresentamos a resposta em frequência (módulo e fase) do filtro passa-altas implementado no **item 1-b)**:

```
In [21]: subplot(211)
plot(omega_filtro_b/pi,abs.(Hb_filtro))
title("FIGURA 3.10 - Módulo e fase do filtro implementado no item 1-b)")
grid()
ylabel(L"$|H(e^{j\omega})|$")
xlabel(L"$\omega/\pi$");
subplot(212)
plot(omega_filtro_b/pi,angle.(Hb_filtro)*180/pi)
grid()
xlabel(L"$\omega/\pi$");
ylabel(L"fase de $H(e^{j\omega})$ (graus)");
```

FIGURA 3.10 - Módulo e fase do filtro implementado no item 1-b)



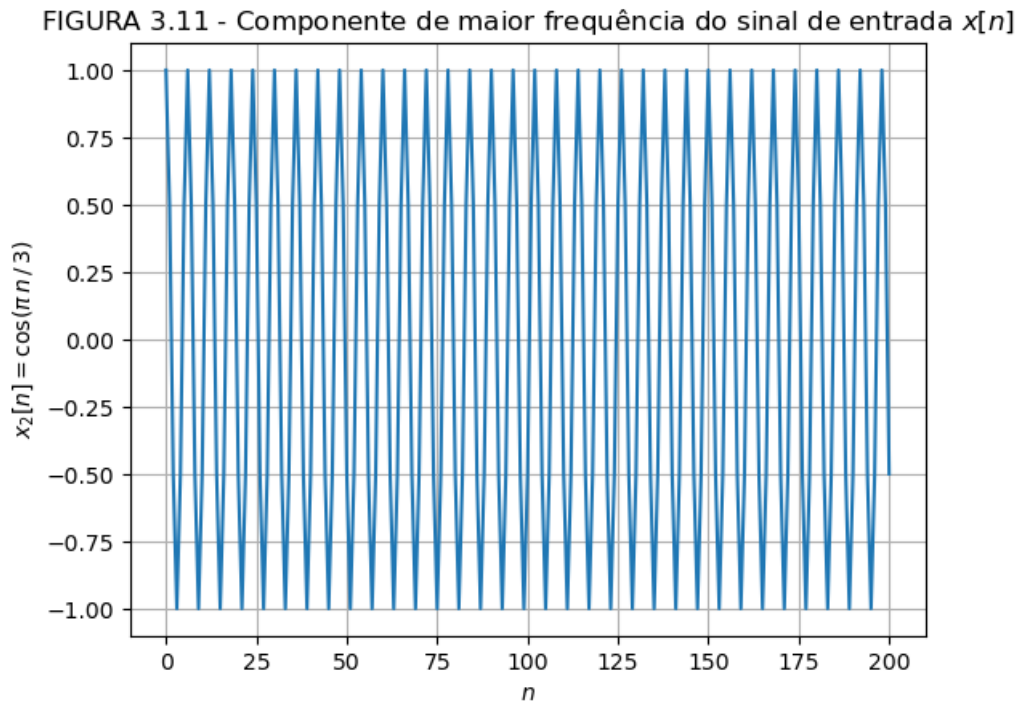
Quando a entrada é $x[n]$, e passado o transitório, o sinal de saída do filtro implementado no **item 1-b)** aproxima-se de uma senoide e tem amplitude (aproximadamente) igual a 1. De fato, podemos verificar que o módulo da resposta em

frequência desse filtro, calculada em $\omega = \pi/3$ é aproximadamente igual a 1, como mostrado logo acima (Figura 3.10).

Além disso, a partir dos resultados do **item 3-a**), notamos que o filtro calculado no item **1-b**), quando se aplica o sinal $x[n] = \cos(\pi n / 20) + \cos(\pi n / 3)$ em sua entrada, tem o efeito de "eliminar" (filtrar) a componente referente ao cosseno de menor frequência ($\cos(\pi n / 20)$), ao passo que a componente de maior frequência ($\cos(\pi n / 3)$) é mantida praticamente inalterada. Tal comportamento é condizente com um filtro passa-altas com frequência de corte $\omega_c = \pi/4$.

Abaixo, plotamos o gráfico da componente de maior frequência $x_2[n] = \cos(\pi n / 3)$, para percebermos que, de fato, ela corresponde ao sinal de saída (após o transitório) do filtro passa-altas implementado no item 1-b), e mostrado na Figura 3.5.

```
In [22]: plot(seq, cos.(pi*seq/3));
title(L"FIGURA 3.11 - Componente de maior frequência do sinal de entrada  $x[n]$ ");
ylabel(L" $x_2[n] = \cos(\pi n / 3)$ "); xlabel(L" $n$ "); grid();
```



Resolução do item 4)

Desejamos, agora, projetar um filtro passa-baixas $H_1(e^{j\omega})$ e um filtro passa-altas $H_2(e^{j\omega})$, para separar os dois cossenos do sinal $x[n] = \cos(\pi n / 20) + \cos(\pi n / 3)$. Propõe-se que os filtros sejam projetados utilizando **janelas de Kaiser**, e supondo que:

- O erro no ganho da banda-passante deve ser menor ou igual a 0,005;
- O cosseno que será eliminado deve ser atenuado por pelo menos 0,001.

Sejam $h_1[n]$ a resposta ao impulso do filtro passa-baixas a ser projetado, e $h_2[n]$ a resposta ao impulso do filtro passa-altas a ser projetado.

O projeto será realizado conforme o procedimento sugerido em aula, e presente nos materiais disponibilizados no site da disciplina (notas de aula, slides). Utilizaremos também a notação apresentada em aula.

A partir da especificação apresentada pelo enunciado, temos: $\delta_p = 0,005$ e $\delta_r = 0,001$

Daí, segue

$$A := -20 \cdot \log_{10}(\min(\delta_p, \delta_r)) = -20 \cdot \log_{10}(0,001) = 60$$

Como $A > 50$, tomamos

$$\beta = 0,1102 \cdot (A - 8,7) = 0,1102 \cdot (60 - 8,7)$$

Assim,

$$\beta \approx 5,653$$

O número N de coeficientes dos filtros será mantido igual a 101, como no **item 1** da experiência.

A janela será dada por

$$w[n] = \begin{cases} \frac{I_0\left(\beta\sqrt{1-\left[(n-L)/L\right]^2}\right)}{I_0(\beta)}, & \text{se } 0 \leq n \leq N-1 \\ 0, & \text{caso contrário} \end{cases}$$

em que $I_0(x)$ é a função de Bessel de ordem 0. Tal janela pode ser obtida pela função `kaiser` da linguagem Julia.

A seguir, armazenamos os parâmetros de interesse em variáveis, e criaremos a janela $w[n]$, correspondente à sequência `janela_kaiser`.

```
In [23]: # Frequência de corte
omega_c = pi/4;

delta_p = 0.005; delta_r = 0.001;

A = -20*log10(min(delta_p, delta_r));

beta = 0.1102*(A-8.7);

# Número de coeficientes do filtro
N_kaiser = N;

# Obtenção da janela de Kaiser
janela_kaiser = kaiser(N_kaiser, beta/pi);

seq_kaiser = 1:(N_kaiser);

L_kaiser = Int((N_kaiser-1)/2);
```

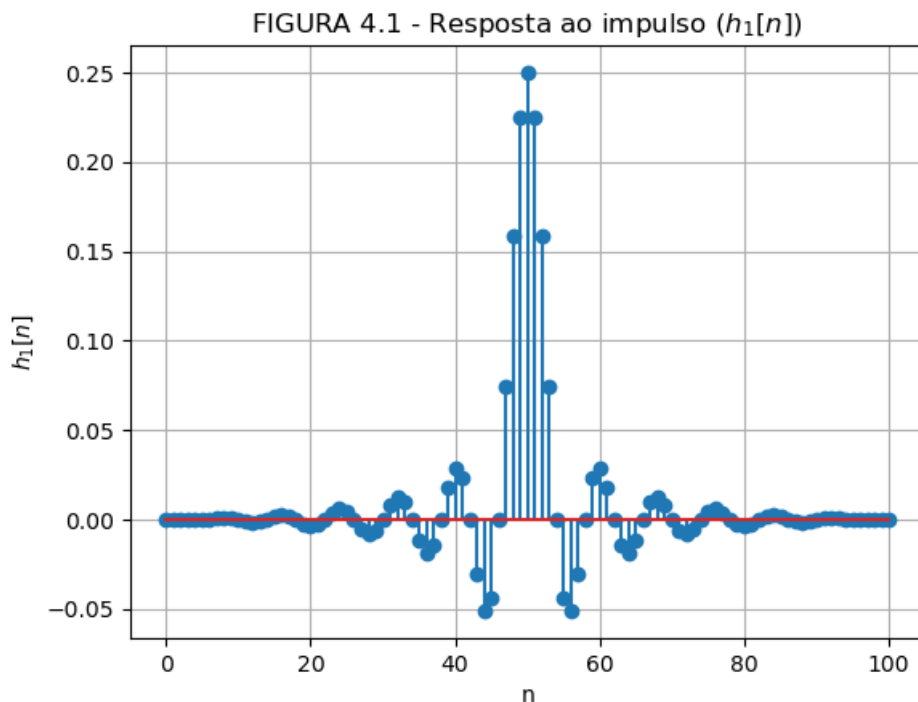
Implementação do filtro passa-baixas utilizando janela de Kaiser

Vamos, primeiro, projetar o filtro **passa-baixas**.

```
In [24]: h1 = (omega_c / pi) * sinc((omega_c / pi) * (seq_kaiser .- (L_kaiser+1))) .* janela_kaiser;
```

Abaixo, é plotada a resposta ao impulso do filtro passa-baixas, $h_1[n]$:

```
In [25]: title(L"FIGURA 4.1 - Resposta ao impulso ($h_1[n]$");
ylabel(L"$h_1[n]$"); xlabel("n"); grid();
stem(0:N_kaiser-1,h1);
```



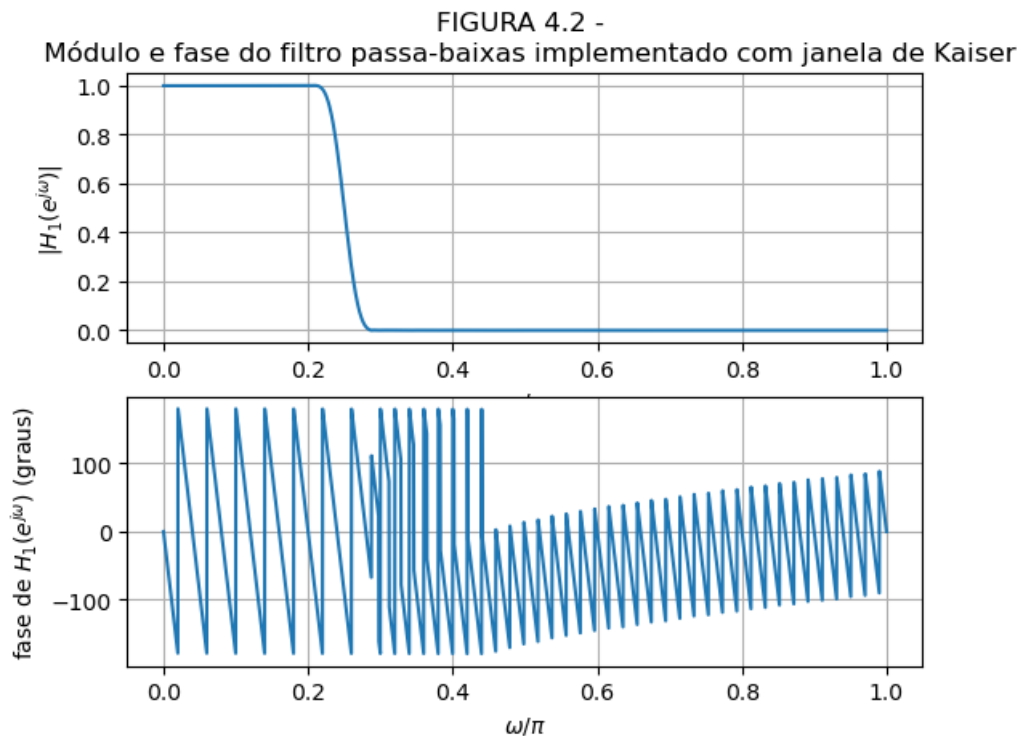
Em seguida, criamos a variável `h1_filtro` do tipo `filter`, e calculamos a resposta em frequência `H1_filtro`:

```
In [26]: h1_filtro = PolynomialRatio(h1,[1.0]);

omega_filtro_1= range(0, stop=pi, length = 5000);
H1_filtro = freqz(h1_filtro, omega_filtro_1);
```

Abaixo, é apresentada a **resposta em frequência** (módulo e fase) do filtro passa-baixas projetado:

```
In [27]: subplot(211)
plot(omega_filtro_1/pi,abs.(H1_filtro))
title("FIGURA 4.2 - \n Módulo e fase do filtro passa-baixas implementado com janela de Kaiser")
grid()
ylabel(L"$|H_1(e^{j\omega})|$")
xlabel(L"$\omega/\pi$");
subplot(212)
plot(omega_filtro_1/pi,angle.(H1_filtro)*180/pi)
grid()
xlabel(L"$\omega/\pi$");
ylabel(L"fase de $H_1(e^{j\omega})$ (graus)");
```



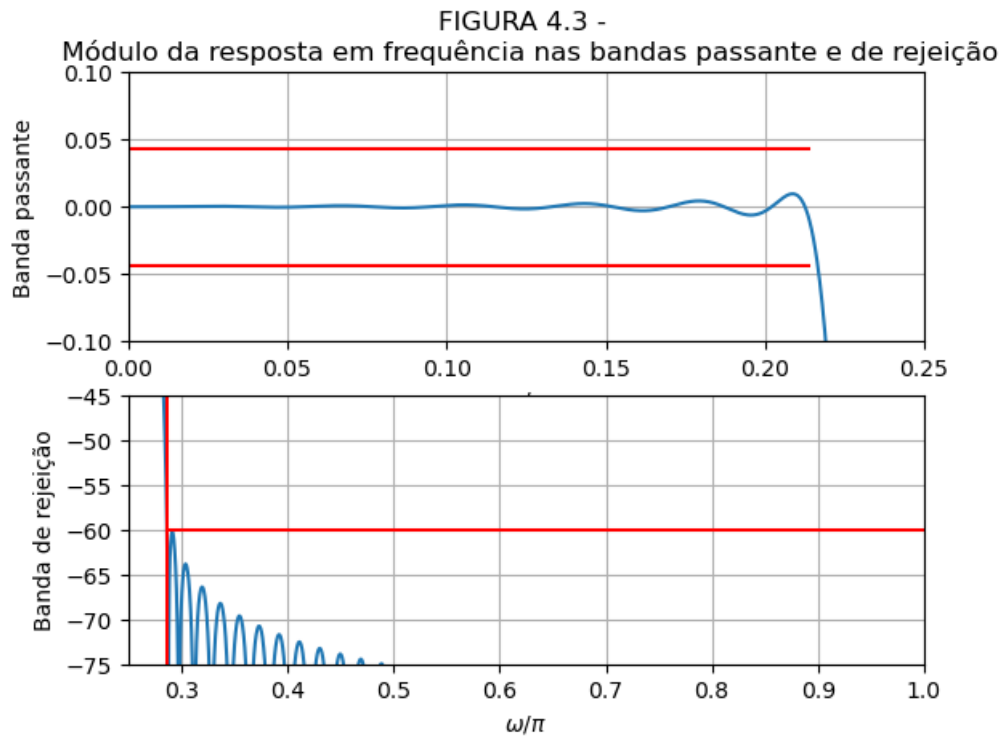
Para verificar que o filtro implementado atende às tolerâncias definidas por δ_p e δ_r , podemos apresentar uma visualização aproximada ("zoom") das regiões de interesse (banda passante e banda de rejeição):

```
In [28]: # Obtenção de delta_omega, a partir da fórmula que calcula o número de
# coeficientes, a partir dos parâmetros A e delta_omega
delta_omega_kaiser = (A-8)/(2.285*(N_kaiser-1))
omega_p_kaiser = omega_c - delta_omega_kaiser/2;
omega_r_kaiser = omega_c + delta_omega_kaiser/2;

subplot(211);
title("FIGURA 4.3 - \n Módulo da resposta em frequência nas bandas passante e de rejeição");
plot(omega_filtro_1/pi,20*log10.(abs.(H1_filtro)));
plot([0;omega_p_kaiser/pi],20*log10.([1-delta_p;1-delta_p]),"r");
plot([0;omega_p_kaiser/pi],20*log10.([1+delta_p;1+delta_p]),"r");

axis([0,omega_c/pi,-0.1,0.1]);
ylabel("Banda passante"); xlabel(L"$\omega/\pi$"); grid();

subplot(212);
plot(omega_filtro_1/pi,20*log10.(abs.(H1_filtro)));
plot([omega_r_kaiser/pi;pi]/pi,20*log10.([delta_r;delta_r]),"r");
plot([omega_r_kaiser;omega_r_kaiser]/pi,[-A-15,5],"r");
axis([omega_c/pi,1,-A-15,-A+15]);
ylabel("Banda de rejeição"); xlabel(L"$\omega/\pi$"); grid();
```



Implementação do filtro passa-altas utilizando janela de Kaiser

Vamos, agora, projetar o filtro **passa-altas**.

```
In [29]: h2 = zeros(N_kaiser);

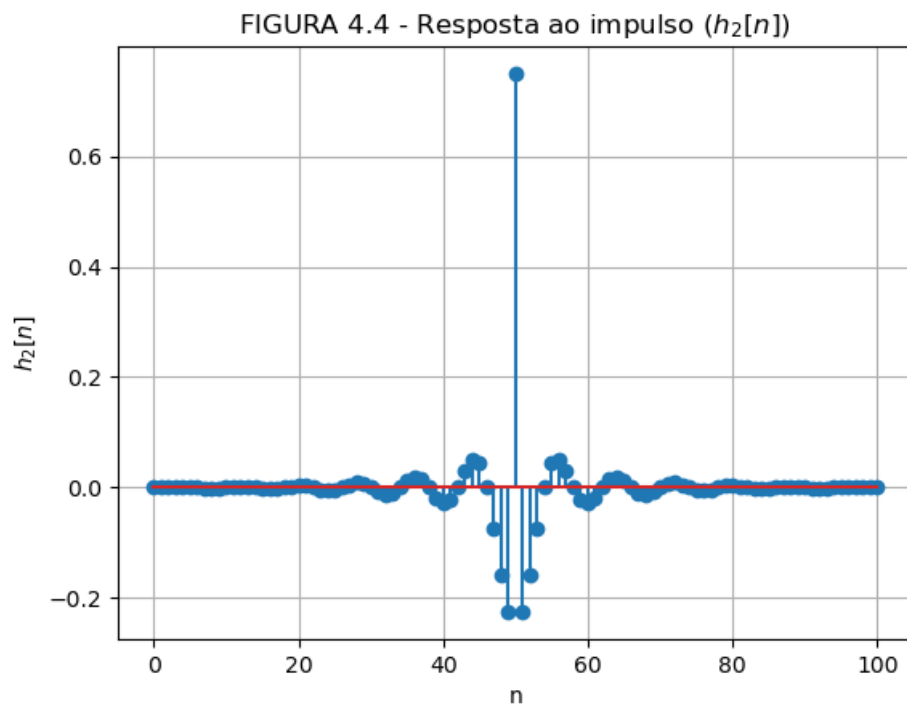
#h2[1:L_kaiser] = - (omega_c / pi) * sinc((omega_c / pi) * (seq_kaiser[1:L_kaiser] .- (L_kaiser+1)));
#h2[L_kaiser + 1] = 1 - (omega_c / pi);
#h2[L_kaiser+2 : N_kaiser] = - (omega_c / pi) * sinc((omega_c / pi) * (seq_kaiser[L_kaiser+2 : N_kaiser] .-
(L_kaiser+1)));

h2 = - (omega_c / pi) * sinc((omega_c / pi) * (seq_kaiser .- (L_kaiser+1)));
h2[L_kaiser+1] = 1 + h2[L_kaiser+1];

h2 = h2 .* janela_kaiser;
```

Abaixo, é plotada a resposta ao impulso do filtro passa-altas, $h_2[n]$:

```
In [33]: title(L"FIGURA 4.4 - Resposta ao impulso ($h_2[n]$)");
ylabel(L"$h_2[n]$"); xlabel("n"); grid();
stem(0:N_kaiser-1,h2);
```

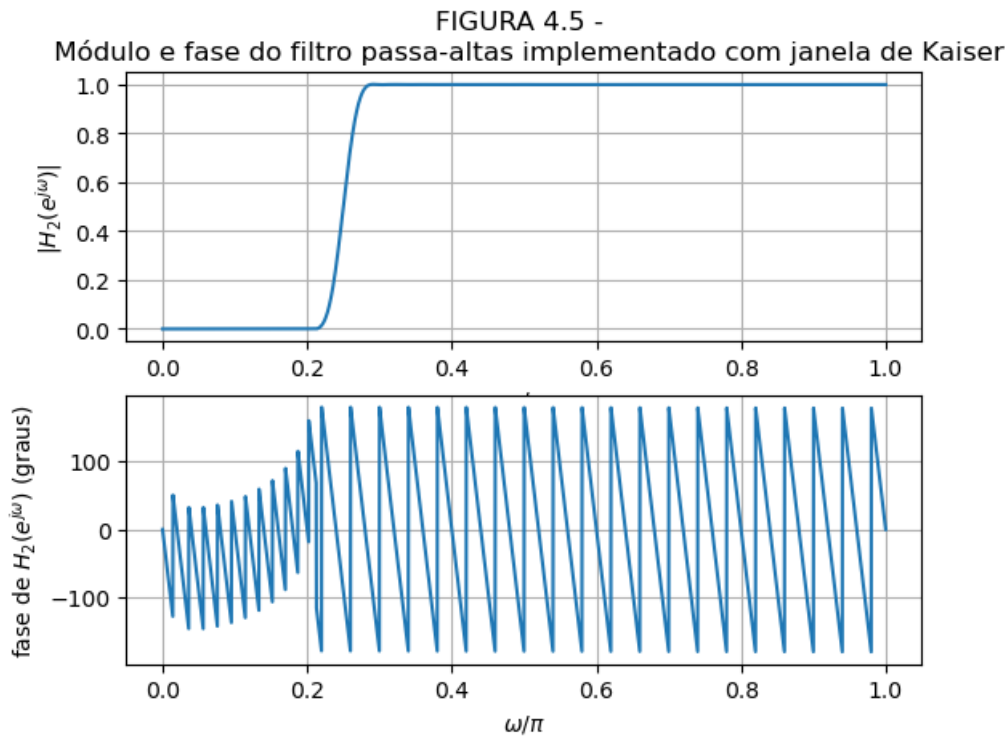


Em seguida, criamos a variável `h2_filtro` do tipo `filter`, e calculamos a resposta em frequência `H2_filtro`:

```
In [34]: h2_filtro = PolynomialRatio(h2,[1.0]);
omega_filtro_2 = range(0, stop=pi, length = 5000);
H2_filtro = freqz(h2_filtro, omega_filtro_2);
```

Abaixo, é apresentada a **resposta em frequência** (módulo e fase) do filtro passa-altas projetado:

```
In [35]: subplot(211)
plot(omega_filtro_2/pi,abs.(H2_filtro))
title("FIGURA 4.5 - \n Módulo e fase do filtro passa-altas implementado com janela de Kaiser")
grid()
ylabel(L"$|H_2(e^{j\omega})|$")
xlabel(L"$\omega/\pi$");
subplot(212)
plot(omega_filtro_2/pi,angle.(H2_filtro)*180/pi)
grid()
xlabel(L"$\omega/\pi$");
ylabel(L"fase de $H_2(e^{j\omega})$ (graus)");
```

Para verificar se o filtro implementado atende às tolerâncias definidas por δ_p e δ_r , apresentamos abaixo uma visualização aproximada ("zoom") das regiões de interesse (banda passante e banda de rejeição).

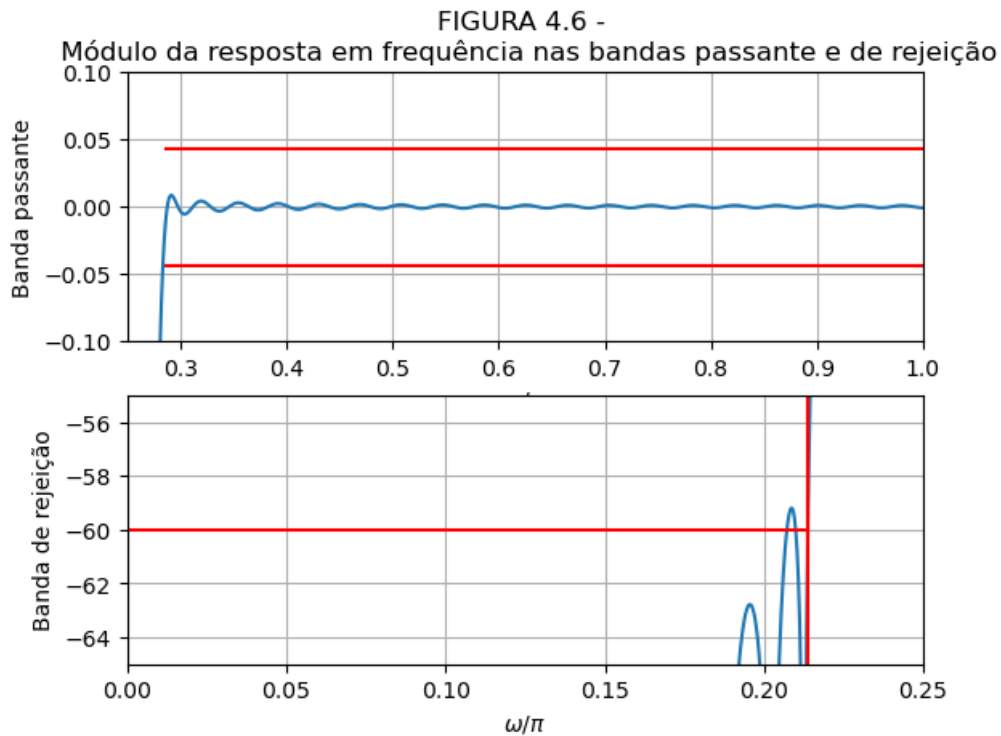
Observação: Aqui, a banda passante e a banda de rejeição são delimitadas por valores de frequência ω obtidas a partir da imposição dos valores desejados de N , δ_p , δ_r e ω_c , isto é: os valores das frequências que delimitam as bandas de passagem e rejeição não foram especificadas pelo enunciado, mas sim calculadas a partir de tais parâmetros citados.

```
In [36]: subplot(211);
title("FIGURA 4.6 - \n Módulo da resposta em frequência nas bandas passante e de rejeição");
plot(omega_filtro_2/pi,20*log10.(abs.(H2_filtro)));
plot([omega_r_kaiser/pi;1],20*log10.([1-delta_p;1-delta_p]),"r");
plot([omega_r_kaiser/pi;1],20*log10.([1+delta_p;1+delta_p]),"r");

axis([omega_c/pi,1,-0.1,0.1]);
ylabel("Banda passante"); xlabel(L"$\omega/\pi$"); grid();

subplot(212);
plot(omega_filtro_2/pi,20*log10.(abs.(H2_filtro)));
plot([0;omega_p_kaiser/pi],20*log10.([delta_r;delta_r]),"r");
plot([omega_p_kaiser;omega_p_kaiser]/pi,[-A-15,5],"r");

axis([0,omega_c/pi,-A-5,-A+5]);
ylabel("Banda de rejeição"); xlabel(L"$\omega/\pi$"); grid();
```



Notamos que o o módulo da resposta em frequência atende à especificação na banda passante, mas ultrapassa a tolerância na banda de rejeição. Por "tentativa e erro", notamos que, se aumentarmos o valor de β de 5.653 para 5.75, verificaremos uma melhoria quanto ao atendimento do filtro às especificações.

A seguir, consideramos esse novo valor de β , e plotamos os gráficos de interesse referentes ao novo filtro passa-altas obtido (resposta ao impulso, resposta em frequência, módulo da resposta em frequência nas bandas de passagem e rejeição).

```
In [37]: beta_novo = 5.75;
h2_novo = zeros(N_kaiser);

h2_novo = - (omega_c / pi) * sinc((omega_c / pi) * (seq_kaiser .- (L_kaiser+1)));
h2_novo[L_kaiser+1] = 1 + h2_novo[L_kaiser+1];

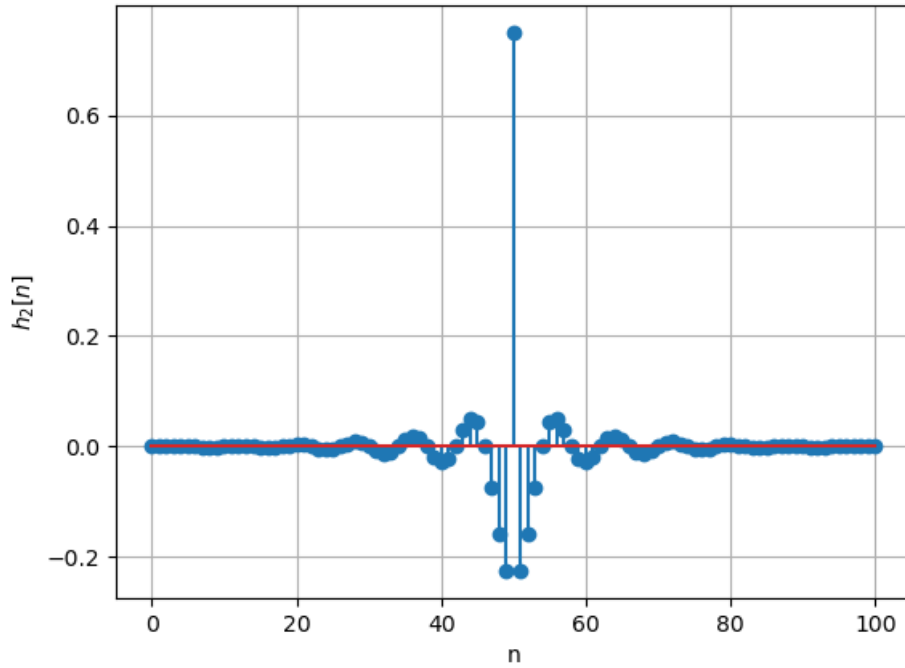
h2_novo = h2_novo .* kaiser(N_kaiser, beta_novo/pi);

h2_novo_filtro = PolynomialRatio(h2_novo,[1.0]);

omega_filtro_2 = range(0, stop=pi, length = 5000);
H2_novo_filtro = freqz(h2_novo_filtro, omega_filtro_2);
```

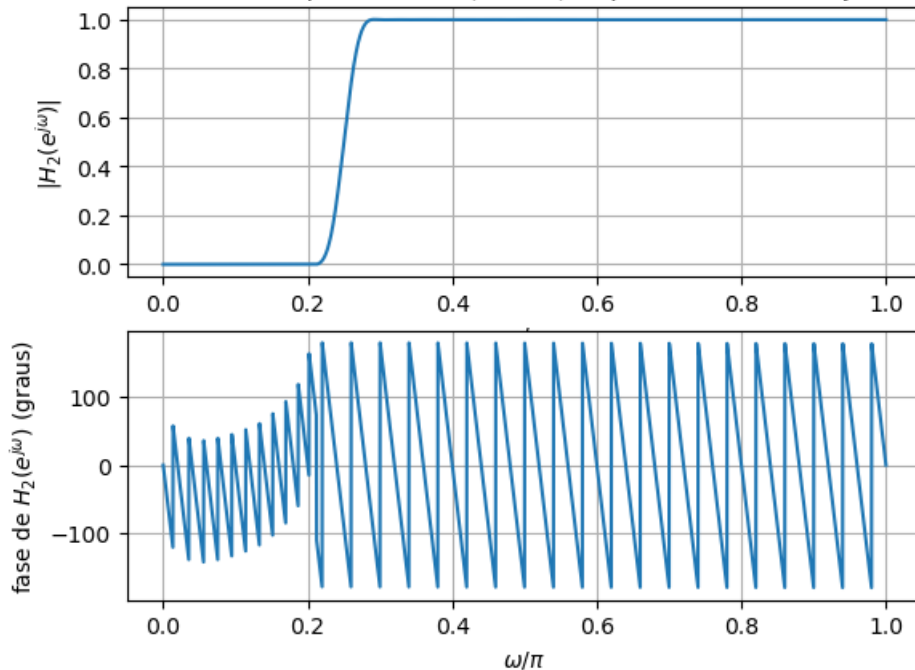
```
In [38]: title(L"FIGURA 4.7 - Resposta ao impulso ($h_2[n]$) ('novo')");
ylabel(L"$h_2[n]$"); xlabel("n"); grid();
stem(0:N_kaiser-1,h2_novo);
```

FIGURA 4.7 - Resposta ao impulso ($h_2[n]$) ('novo')



```
In [39]: subplot(211)
plot(omega_filtro_2/pi,abs.(H2_novo_filtro))
title("FIGURA 4.8 - \n M3dulo e fase do filtro passa-altas ('novo') implementado com janela de Kaiser")
grid()
ylabel(L"$|H_2(e^{j\omega})|$")
xlabel(L"$\omega/\pi$");
subplot(212)
plot(omega_filtro_2/pi,angle.(H2_novo_filtro)*180/pi)
grid()
xlabel(L"$\omega/\pi$");
ylabel(L"fase de $H_2(e^{j\omega})$ (graus)");
```

FIGURA 4.8 -
M3dulo e fase do filtro passa-altas ('novo') implementado com janela de Kaiser



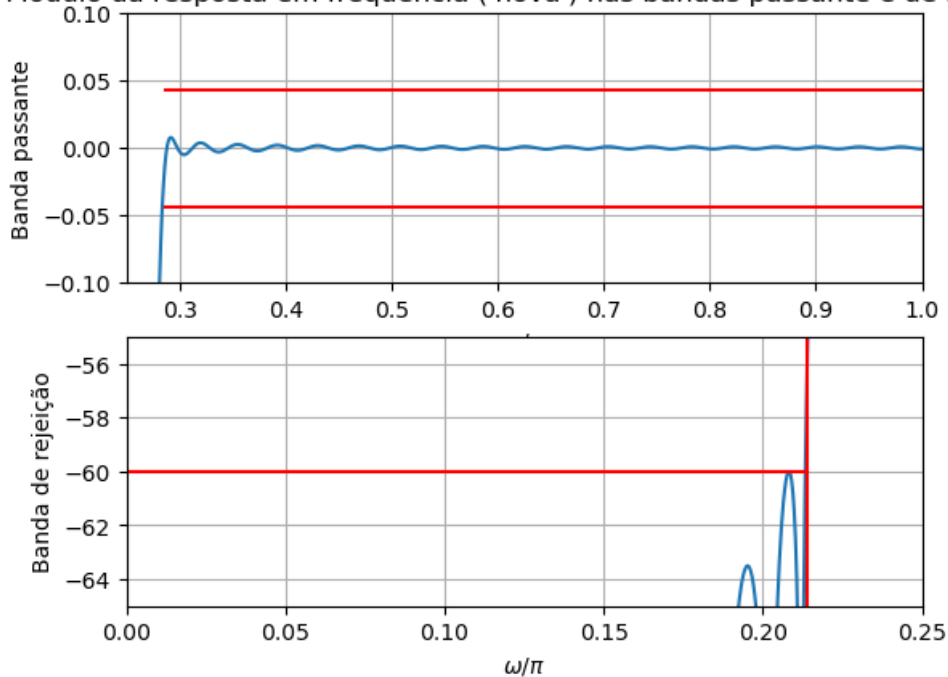
```
In [41]: subplot(211);
title("FIGURA 4.9 - \n M3dulo da resposta em frequ3ncia ('nova') nas bandas passante e de rejei33o");
plot(omega_filtro_2/pi,20*log10.(abs.(H2_novo_filtro)));
plot([omega_r_kaiser/pi;1],20*log10.([1-delta_p;1-delta_p]),"r");
plot([omega_r_kaiser/pi;1],20*log10.([1+delta_p;1+delta_p]),"r");

axis([omega_c/pi,1,-0.1,0.1]);
ylabel("Banda passante"); xlabel(L"$\omega/\pi$"); grid();
```

```
subplot(212);
plot(omega_filtro_2/pi, 20*log10.(abs.(H2_novo_filtro)));
plot([0; omega_p_kaiser/pi], 20*log10.([delta_r; delta_r]), "r");
plot([omega_p_kaiser; omega_p_kaiser]/pi, [-A-15, 5], "r");

axis([0, omega_c/pi, -A-5, -A+5]);
ylabel("Banda de rejeição"); xlabel(L"$\omega/\pi$"); grid();
```

FIGURA 4.9 -
Módulo da resposta em frequência ('nova') nas bandas passante e de rejeição



Resolução do item 5)

Neste item, propõe-se a implementação dos filtros do item anterior mediante o **método min-max** de projeto (**algoritmo de ParksMcClellan**).

Conforme a especificação apresentada pelo enunciado, temos: $\delta_p = 0,005$ e $\delta_r = 0,001$.

O número N de coeficientes dos filtros será mantido igual a 101, como no **item 1** da experiência.

A partir da imposição do número N de coeficientes e das tolerâncias δ_p e δ_r , podemos fazer o "caminho contrário" para determinar a diferença $\Delta\omega = \omega_r - \omega_p$, usando a fórmula

$$N \approx \frac{-10 \log_{10}(\delta_p \cdot \delta_r) - 13}{2,324 \cdot \Delta\omega} + 1$$

Daí, obtemos

$$101 = \frac{-10 \log_{10}(0,005 \cdot 0,001) - 13}{2,324 \cdot \Delta\omega} + 1$$

$$\therefore \Delta\omega \approx 0,172$$

Implementação do filtro passa-baixas utilizando o método min-max (algoritmo de Parks-McClellan)

Vamos implementar, inicialmente, o **filtro passa-baixas** proposto.

Fazendo $\omega_c = \pi/4$ ser a frequência intermediária entre ω_p e ω_r , obtemos

$$\omega_p = \omega_c - \Delta\omega/2 \approx 0,699$$

e

$$\omega_r = \omega_c + \Delta\omega/2 \approx 0,871$$

Para a implementação dos filtros, vamos utilizar a função `remez` disponibilizada pela biblioteca `DSP` da linguagem.

```
In [42]: N_pm = N; # Número de coeficientes do filtro

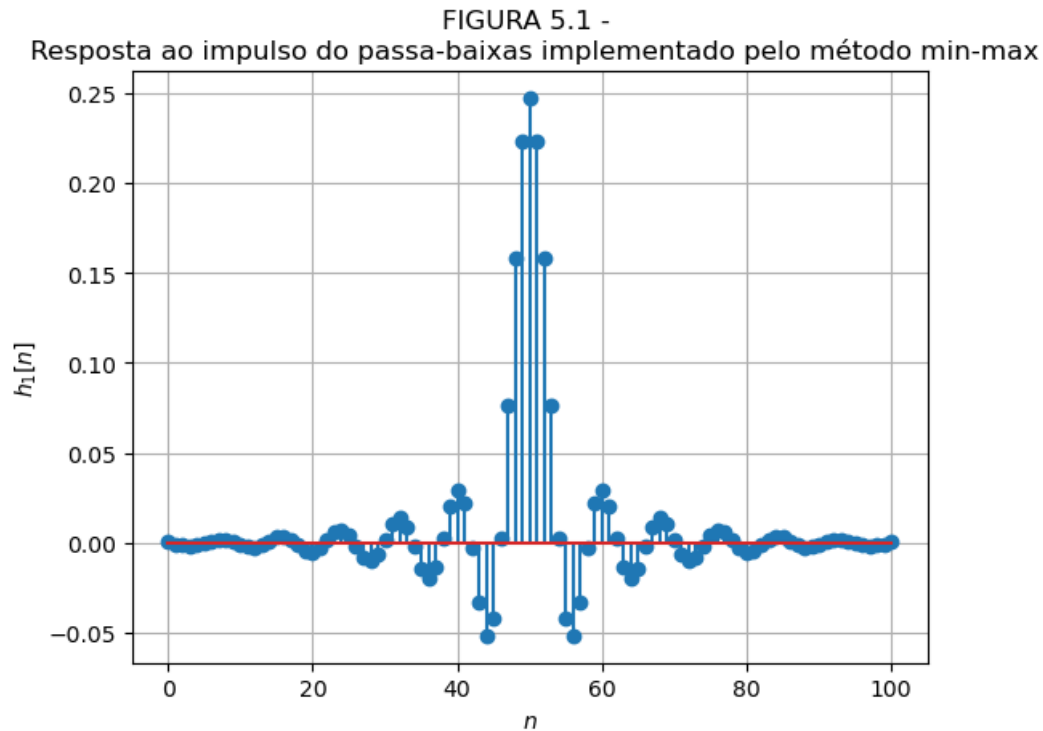
delta_omega_pm = ( -10*log10(delta_p*delta_r) - 13 ) / ( 2.324 * (N_pm - 1) );

omega_p_pm = omega_c - delta_omega_pm/2;
omega_r_pm = omega_c + delta_omega_pm/2;

h1_pm = remez(N_pm, [(0, omega_p_pm/(2*pi)) => (1, 1), (omega_r_pm/(2*pi), 0.5) => (0, delta_p/delta_r)]);
```

Abaixo, é apresentada a resposta ao impulso $h_1[n]$ do filtro passa-baixas, projetado utilizando o método min-max.

```
In [43]: stem(0:N_pm-1,h1_pm); grid();
title("FIGURA 5.1 - \n Resposta ao impulso do passa-baixas implementado pelo método min-max");
ylabel(L"$h_1[n]$");
xlabel(L"$n$");
```



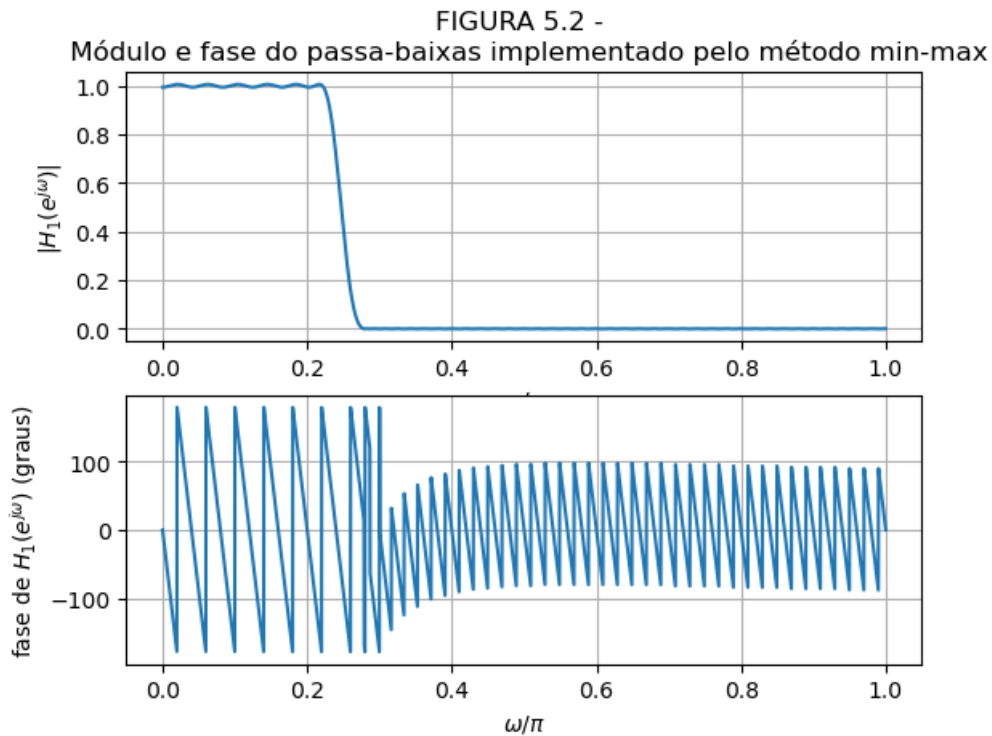
Em seguida, criamos a variável `h1_pm_filtro` do tipo `filter`, e calculamos a resposta em frequência `H1_pm_filtro`.

```
In [44]: h1_pm_filtro = PolynomialRatio(h1_pm,[1.0]);

omega_filtro_1_pm= range(0, stop=pi, length = 5000);
H1_pm_filtro = freqz(h1_pm_filtro, omega_filtro_1_pm);
```

Abaixo, plotamos a resposta em frequência do filtro passa-baixas implementado pelo método min-max.

```
In [45]: subplot(211)
plot(omega_filtro_1_pm/pi,abs.(H1_pm_filtro))
title("FIGURA 5.2 - \n Módulo e fase do passa-baixas implementado pelo método min-max")
grid()
ylabel(L"$|H_1(e^{j\omega})|$")
xlabel(L"$\omega/\pi$");
subplot(212)
plot(omega_filtro_1_pm/pi,angle.(H1_pm_filtro)*180/pi)
grid()
xlabel(L"$\omega/\pi$");
ylabel(L"fase de $H_1(e^{j\omega})$ (graus)");
```

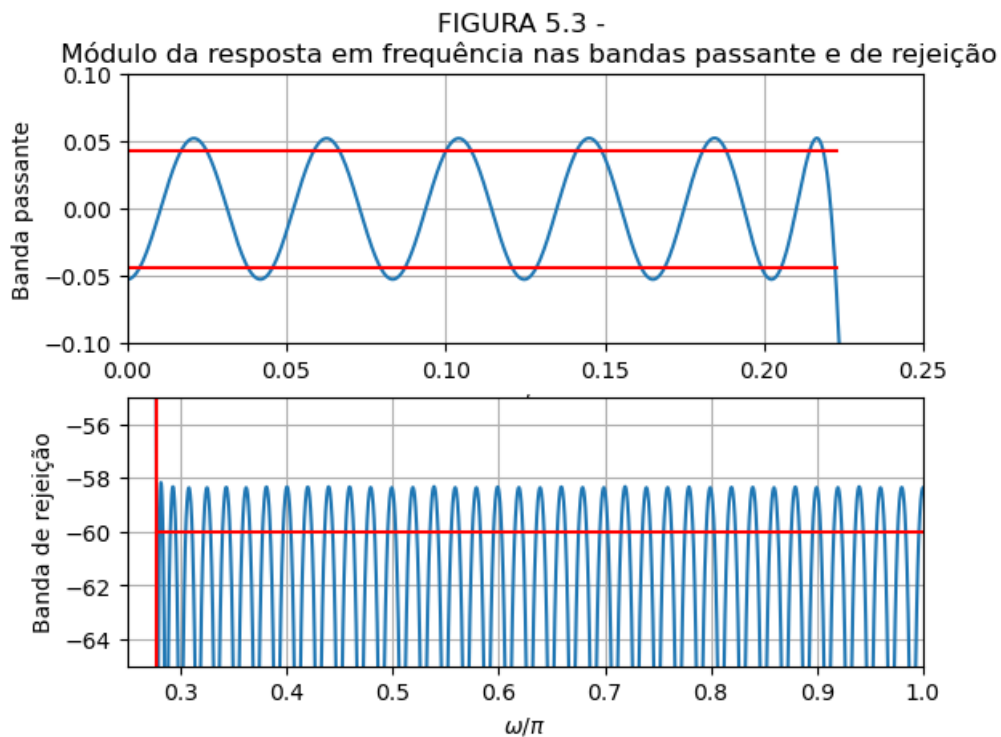


Podemos apresentar uma visualização aproximada ("zoom") das regiões de interesse (banda passante e banda de rejeição):

```
In [46]: subplot(211);
title("FIGURA 5.3 - \n Módulo da resposta em frequência nas bandas passante e de rejeição");
plot(omega_filtro_1_pm/pi,20*log10.(abs.(H1_pm_filtro)));
plot([0;omega_p_pm/pi],20*log10.([1-delta_p;1-delta_p]),"r");
plot([0;omega_p_pm/pi],20*log10.([1+delta_p;1+delta_p]),"r");

axis([0,omega_c/pi,-0.1,0.1]);
ylabel("Banda passante"); xlabel(L"$\omega/\pi$"); grid();

subplot(212);
plot(omega_filtro_1_pm/pi,20*log10.(abs.(H1_pm_filtro)));
plot([omega_r_pm/pi]/pi,20*log10.([delta_r;delta_r]),"r");
plot([omega_r_pm;omega_r_pm]/pi,[-A-15,5],"r");
A=-20*log10(min(delta_p,delta_r));
axis([omega_c/pi,1,-A-5,-A+5]);
ylabel("Banda de rejeição"); xlabel(L"$\omega/\pi$"); grid();
```



Notamos que o filtro projetado não satisfaz os valores de tolerância estabelecidos por δ_p e δ_r .

Mantendo o número de coeficientes ($N = 101$), podemos alterar o valor de $\Delta\omega$. O valor calculado originalmente é $\Delta\omega = 0,172$. Após alguns testes, verificamos que, se tomarmos $\Delta\omega = 0,185$, o módulo da resposta em frequência fica dentro dos limites desejados. Vamos, então, refazer o projeto do filtro passa-baixas pelo método min-max, mas tomando o novo valor de $\Delta\omega$.

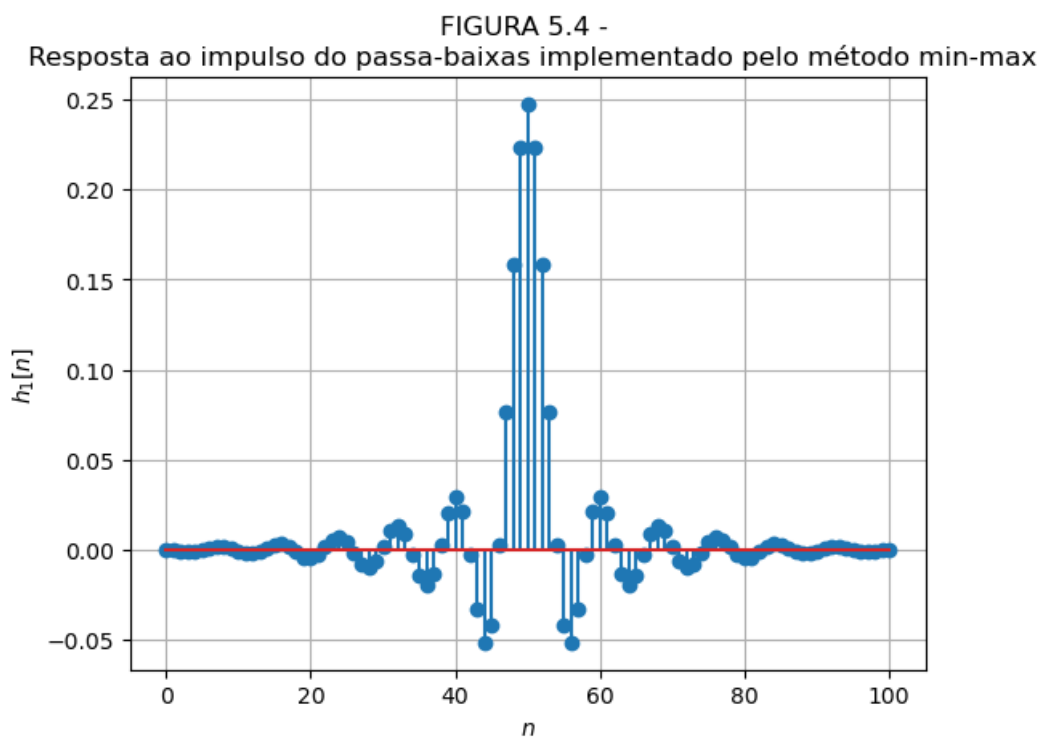
```
In [47]: delta_omega_pm = 0.185;

omega_p_pm = omega_c - delta_omega_pm/2;
omega_r_pm = omega_c + delta_omega_pm/2;

h1_pm = remez(N_pm, [(0, omega_p_pm/(2*pi)) => (1, 1), (omega_r_pm/(2*pi), 0.5) => (0, delta_p/delta_r)]);
```

Apresentamos a resposta ao impulso:

```
In [48]: stem(0:N_pm-1,h1_pm); grid();
title("FIGURA 5.4 - \n Resposta ao impulso do passa-baixas implementado pelo método min-max");
ylabel(L"$h_1[n]$");
xlabel(L"$n$");
```

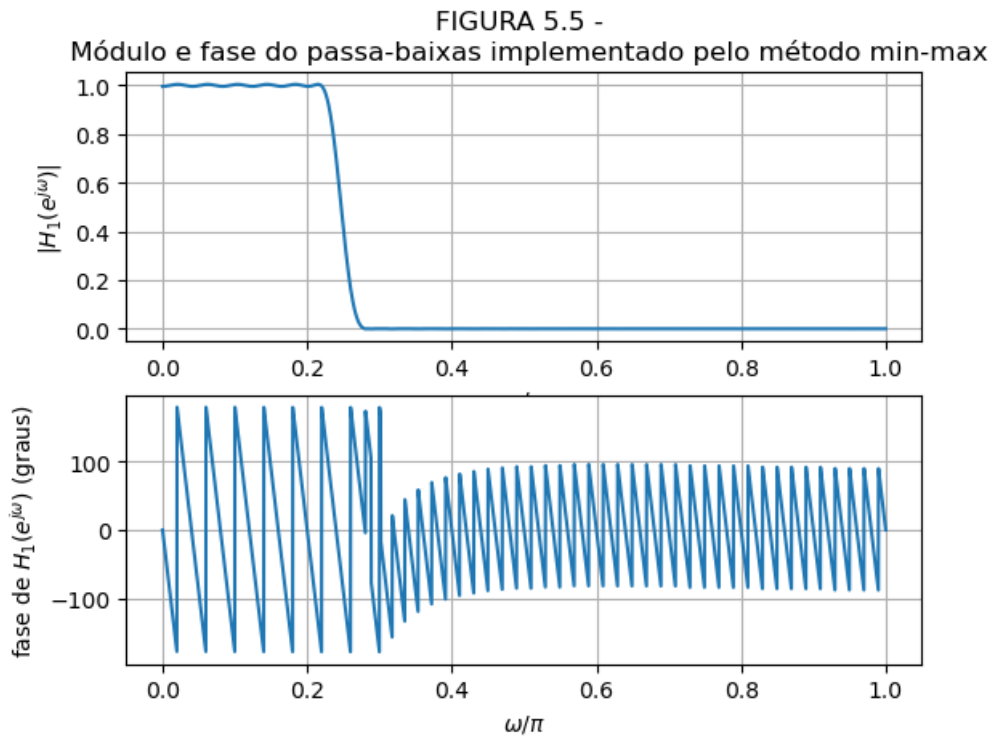


A seguir, plotamos a resposta em frequência do filtro:

```
In [49]: h1_pm_filtro = PolynomialRatio(h1_pm,[1.0]);

omega_filtro_1_pm= range(0, stop=pi, length = 5000);
H1_pm_filtro = freqz(h1_pm_filtro, omega_filtro_1_pm);
```

```
In [50]: subplot(211)
plot(omega_filtro_1_pm/pi,abs.(H1_pm_filtro))
title("FIGURA 5.5 - \n Módulo e fase do passa-baixas implementado pelo método min-max")
grid()
ylabel(L"$|H_1(e^{j\omega})|$")
xlabel(L"$\omega/\pi$");
subplot(212)
plot(omega_filtro_1_pm/pi,angle.(H1_pm_filtro)*180/pi)
grid()
xlabel(L"$\omega/\pi$");
ylabel(L"fase de $H_1(e^{j\omega})$ (graus)");
```

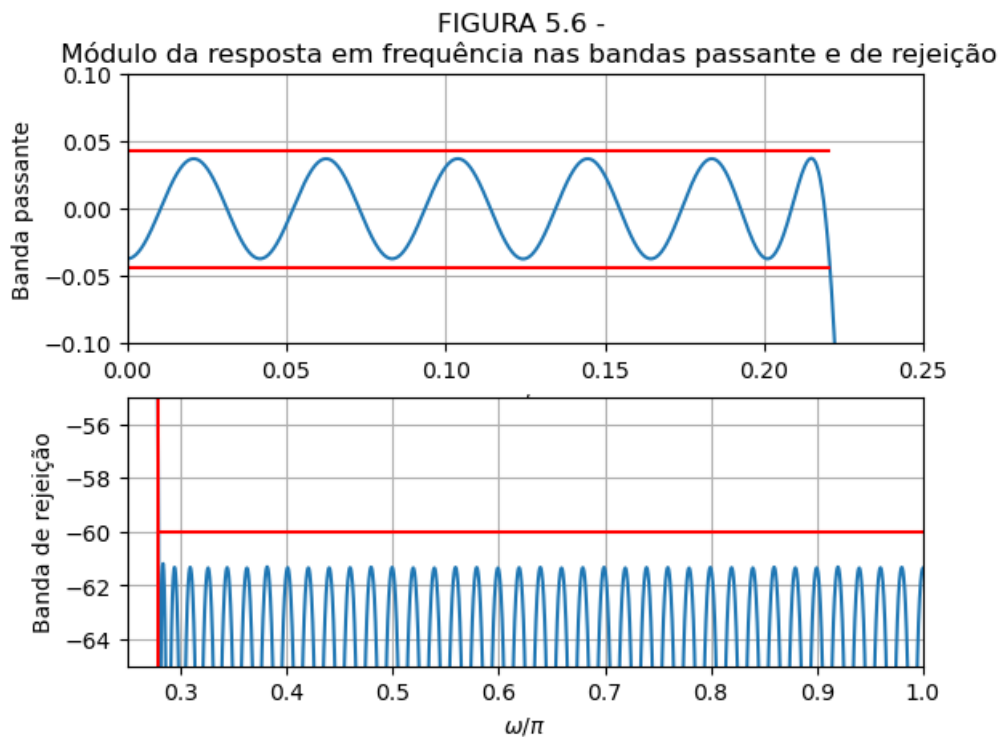


Agora, a partir de uma visualização aproximada ("zoom") das regiões de interesse (banda passante e banda de rejeição), vemos que o módulo da resposta em frequência respeita os limites definidos por δ_p e δ_r :

```
In [51]: subplot(211);
title("FIGURA 5.6 - \n Módulo da resposta em frequência nas bandas passante e de rejeição");
plot(omega_filtro_1_pm/pi,20*log10.(abs.(H1_pm_filtro)));
plot([0;omega_p_pm/pi],20*log10.([1-delta_p;1-delta_p]),"r");
plot([0;omega_p_pm/pi],20*log10.([1+delta_p;1+delta_p]),"r");

axis([0,omega_c/pi,-0.1,0.1]);
ylabel("Banda passante"); xlabel(L"$\omega/\pi$"); grid();

subplot(212);
plot(omega_filtro_1_pm/pi,20*log10.(abs.(H1_pm_filtro)));
plot([omega_r_pm/pi]/pi,20*log10.([delta_r;delta_r]),"r");
plot([omega_r_pm;omega_r_pm]/pi,[-A-15,5],"r");
A=-20*log10(min(delta_p,delta_r))
axis([omega_c/pi,1,-A-5,-A+5]);
ylabel("Banda de rejeição"); xlabel(L"$\omega/\pi$"); grid();
```



Implementação do filtro passa-altas utilizando o método min-max (algoritmo de ParksMcClellan)

Vamos, agora, seguir um procedimento análogo, para implementar o **filtro passa-altas**, utilizando o método min-max. Já iremos adotar $\Delta\omega = 0,185$, como obtido anteriormente.

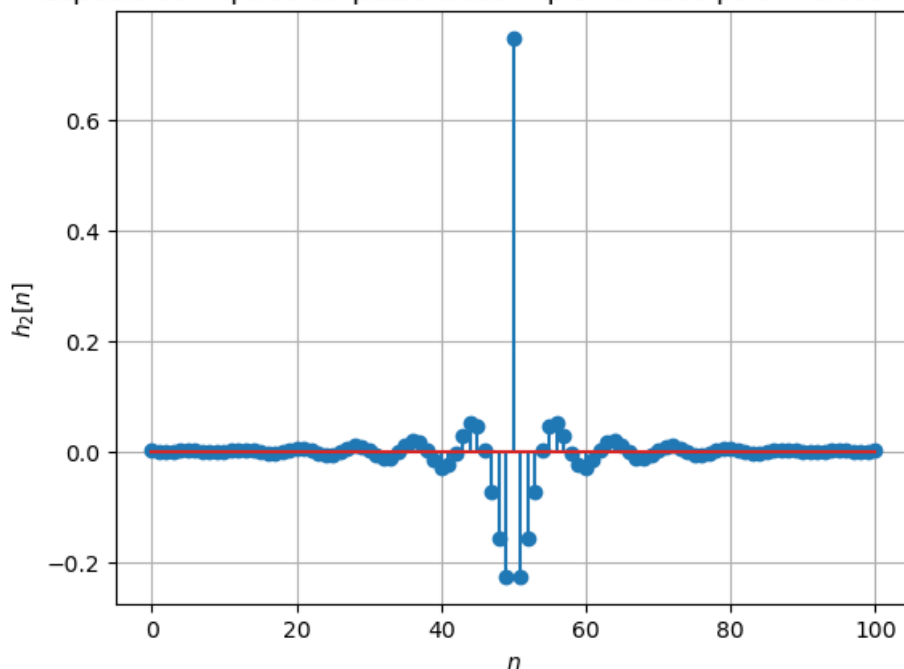
(Observação para evitar possível confusão no entendimento do código: para a implementação do filtro passa-altas, não vamos atualizar as variáveis `omega_p_pm` e `omega_r_pm`. No entanto, para o projeto do passa-altas, tais variáveis apresentam outro sentido: `omega_p_pm` agora define o limite da banda de rejeição, enquanto `omega_r_pm` agora define o limite da banda passante. No caso da implementação do filtro passa-baixas, essas variáveis apresentavam o significado oposto.)

```
In [52]: h2_pm = remez(N_pm, [(0, omega_p_pm/(2*pi)) => (0, delta_p/delta_r), (omega_r_pm/(2*pi), 0.5) => (1,1)]);
```

Apresentamos a resposta ao impulso:

```
In [53]: stem(0:N_pm-1,h2_pm); grid();
title("FIGURA 5.7 - \n Resposta ao impulso do passa-altas implementado pelo método min-max");
ylabel(L"$h_2[n]$");
xlabel(L"$n$");
```

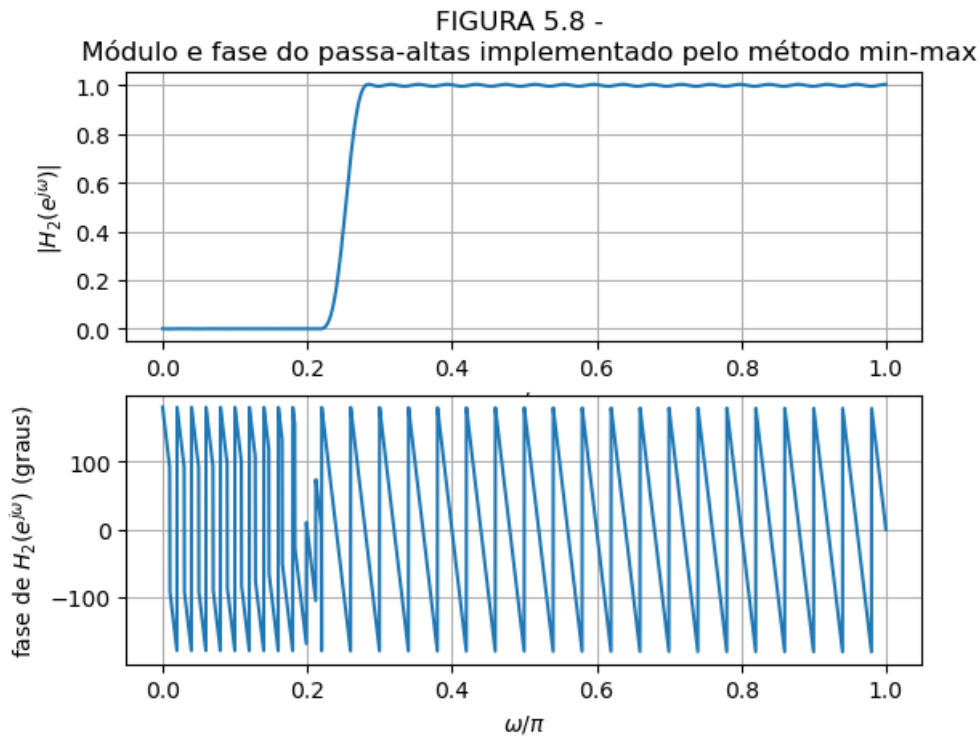
FIGURA 5.7 -
Resposta ao impulso do passa-altas implementado pelo método min-max



A seguir, plotamos a resposta em frequência do filtro:

```
In [54]: h2_pm_filtro = PolynomialRatio(h2_pm,[1.0]);
omega_filtro_2_pm= range(0, stop=pi, length = 5000);
H2_pm_filtro = freqz(h2_pm_filtro, omega_filtro_2_pm);
```

```
In [55]: subplot(211)
plot(omega_filtro_2_pm/pi,abs.(H2_pm_filtro))
title("FIGURA 5.8 - \n Módulo e fase do passa-altas implementado pelo método min-max")
grid()
ylabel(L"$|H_2(e^{j\omega})|$")
xlabel(L"$\omega/\pi$");
subplot(212)
plot(omega_filtro_2_pm/pi,angle.(H2_pm_filtro)*180/pi)
grid()
xlabel(L"$\omega/\pi$");
ylabel(L"fase de $H_2(e^{j\omega})$ (graus)");
```



A partir de uma visualização aproximada das regiões de interesse (banda passante e banda de rejeição), vemos que o módulo da resposta em frequência respeita os limites definidos por δ_p e δ_r :

```
In [56]: subplot(211);
title("FIGURA 5.9 - \n Módulo da resposta em frequência nas bandas passante e de rejeição");
plot(omega_filtro_2_pm/pi,20*log10.(abs.(H2_pm_filtro)));
plot([omega_r_pm/pi;1],20*log10.([1-delta_p;1-delta_p]),"r");
plot([omega_r_pm/pi;1],20*log10.([1+delta_p;1+delta_p]),"r");

axis([omega_c/pi,1,-0.1,0.1]);
ylabel("Banda passante"); xlabel(L"$\omega/\pi$"); grid();

subplot(212);
plot(omega_filtro_2_pm/pi,20*log10.(abs.(H2_pm_filtro)));
plot([0;omega_p_pm/pi],20*log10.([delta_r;delta_r]),"r");
plot([omega_p_pm;omega_a_pm]/pi,[-A-15,5],"r");

axis([0,omega_c/pi,-A-5,-A+5]);
ylabel("Banda de rejeição"); xlabel(L"$\omega/\pi$"); grid();
```

